

# Résolution Numérique de quelques Équations aux Dérivées Partielles en utilisant la Méthode des Différences Finies et la Méthode des Volumes Finis

Réalisé par : ADIB Mehdi - HANI Moad

Filière : GMI3

Module :Volumes finis

Sous l'encadrement du professeur : Monsieur Ahmed TAIK

Faculté de Sciences et Techniques de Mohammedia

10 janvier 2018

# Sommaire

<b>Introduction</b>	<b>3</b>
<b>1 Rappel sur la méthode des différences finies (DF)</b>	<b>4</b>
1.1 Cas 1D : . . . . .	4
1.1.1 Discrétisation du domaine $[A,B]$ . . . . .	5
1.1.2 Schéma numérique(DF) . . . . .	5
1.2 Code : . . . . .	6
1.2.1 Résultats graphiques . . . . .	8
<b>2 Résolution de l'équation de Laplace 2D par la méthode des Différences Finies</b>	<b>9</b>
2.1 Définitions . . . . .	9
2.2 Discrétisation de l'EDP . . . . .	11
2.3 Approximation de l'EDP . . . . .	11
2.4 Calcul numérique . . . . .	12
2.4.1 Principe . . . . .	12
2.4.2 Algorithme1 . . . . .	13
2.4.3 Résultats graphiques . . . . .	16
<b>3 Résolution de l'équation de Laplace 2D avec des conditions aux limites mixtes</b>	<b>17</b>
3.1 Approximation de l'EDP : . . . . .	17
3.2 Code Matlab . . . . .	19
3.3 Résultats graphiques . . . . .	21
<b>4 Résolution de l'équation de Laplace 3D par la méthode des Différences Finies</b>	<b>22</b>
4.1 Discrétisation du domaine $]0,1[^3$ . . . . .	22
4.2 Schéma numérique(DF) . . . . .	23
4.3 Calcul numérique . . . . .	23
4.3.1 Algorithme . . . . .	23
4.3.2 Résultats graphiques . . . . .	32

<b>5</b>	<b>Résolution de l'équation de Laplace 2D par la méthode RBF</b>	<b>33</b>
5.1	Généralités . . . . .	33
5.2	Approximation de l'EDP : . . . . .	34
5.3	Code Matlab . . . . .	35
5.4	Résultats graphiques . . . . .	38
<b>6</b>	<b>Conduction de chaleur par maillage structuré</b>	<b>39</b>
6.1	Position du problème . . . . .	39
6.2	Maillage . . . . .	39
6.3	Construction du schéma . . . . .	41
6.4	Calcul des flux numériques . . . . .	42
6.4.1	Flux interne : $\sigma$ est une arête interne . . . . .	42
6.4.2	Flux au bord de $\Gamma_2$ . . . . .	42
6.4.3	Flux au bord de $\Gamma_4$ . . . . .	43
6.4.4	Flux au bord de $\Gamma_1 \cup \Gamma_3$ . . . . .	43
6.4.5	Flux sur l'interface I . . . . .	43
6.5	Calcul numérique . . . . .	44
6.5.1	Principe . . . . .	44
6.5.2	Code Matlab . . . . .	46
6.5.3	Résultats graphiques . . . . .	52
<b>7</b>	<b>Conduction de chaleur par maillage non structuré</b>	<b>53</b>
7.1	Maillage . . . . .	53
7.2	Construction du schéma . . . . .	54
7.3	Calcul des flux numériques . . . . .	55
7.3.1	Flux interne : $\sigma$ est une arête interne . . . . .	55
7.3.2	Flux au bord de $\sigma \subset \Gamma_1 \cup \Gamma_3$ . . . . .	55
7.3.3	Flux au bord de $\sigma \subset \Gamma_2$ . . . . .	56
7.3.4	Flux au bord de $\sigma \subset \Gamma_4$ . . . . .	56
7.3.5	Flux sur l'interface I . . . . .	56
7.4	Calcul numérique . . . . .	57
7.4.1	Principe . . . . .	57
7.4.2	Algorithme . . . . .	58
7.4.3	Résultats graphiques . . . . .	63
	<b>Conclusion</b>	<b>64</b>

# Introduction

Le métier d'ingénieur ne se conçoit guère sans l'utilisation de logiciels de modélisation. Ces logiciels résolvent des équations telles que l'équation de continuité, de conservation de la quantité de mouvement, de conservation de l'énergie ou de conservation de la masse.

Du fait de la complexité de la géométrie, ainsi que de la variation dans le temps ou dans l'espace des conditions aux limites, ces équations différentielles ne peuvent en général pas être résolues de façon exacte. Elles sont résolues de façon approchée, à l'aide des méthodes numériques.

Les méthodes numériques ne donnent pas la solution véritable du problème que l'on cherche à résoudre. Des méthodes numériques mal employées peuvent conduire à des résultats totalement faux, allant à l'encontre de la réalité physique (exemples typiques : concentrations négatives, création ou disparition artificielle de la masse d'eau ou de soluté dans un modèle).

L'apparition d'ordinateurs extrêmement puissants permet néanmoins aujourd'hui d'obtenir des solutions approchées pour des équations aux dérivées partielles, même très compliquées.

# Chapitre 1

## Rappel sur la méthode des différences finies (DF)

### 1.1 Cas 1D :

#### Différences finies

La méthode des différences finies est une méthode de discrétisation d'une équation différentielle ou d'un ensemble de relations aux dérivées partielles en un ensemble discret de 'N' équations à 'N' inconnues.

Cette méthode s'inscrit dans le processus général de discrétisation d'un problème physique au niveau de l'étape 3 :

1. Modélisation de la physique du problème \* choix des équations régissant le problème AVEC conditions limites et initiales, \* choix du domaine physique, \* loi de comportement, \* propriétés physiques, \* autres hypothèses ...
2. Représentation discrète de la géométrie : génération d'un maillage
3. Obtention de l'équation d'équilibre discrète Cette étape consiste à remplacer tous les termes de dérivées sous une forme discrètes à l'aide d'une technique basée sur les développements limités.
4. Assemblage du système discret Application de l'équation discrète sur l'ensemble des noeuds autorisés pour obtenir le système suivant :  $[A]X = B$ . (1)
5. Mise en place des conditions limites de type Dirichlet sur le système d'équations
6. Résolution Pour un problème linéaire, il s'agit de trouver :  $X = [A]^{-1}B$ . (2)
7. Post-traitement \* Affichage déformée, \* Calcul du champ de gradients pour affichage des champs de contrainte et de déformation \* ...
8. Analyse des résultats

On considère l'équation différentielle ordinaire :

$$\begin{cases} a(x)y''(x) + b(x)y'(x) + c(x)y(x) = f(x) \text{ pour tout } x \in ]A, B[ \\ y(A) = \alpha \\ y(B) = \beta \text{ avec } A, B \in \mathbb{R}, \alpha, \beta \in \mathbb{R} \end{cases}$$

Généralement la résolution analytique de ce type d'équation différentielle ordinaire (EDO) est difficile :

Numériquement, c'est toujours possible, en effet :

### 1.1.1 Discrétisation du domaine [A,B]

$$\frac{B-A}{n} \text{ avec } n : \text{ le pas de discrétisation}$$

$$x(i) = x_i = A + ih, \quad i = 0, \dots, n$$

### 1.1.2 Schéma numérique(DF)

$$y'(x_i) \simeq \frac{y(x_{i+1}) - y(x_i)}{h} = \frac{y_{i+1} - y_i}{h}$$

$$y''(x_i) = (y(x_i)')' \simeq \frac{y'(x_{i+1}) - y'(x_i)}{h}$$

$$= \frac{\frac{y(x_{i+2}) - y(x_{i+1}))}{h} - \frac{y(x_{i+1}) - y(x_i)}{h}}{h}$$

$$\simeq \frac{y_{i+2} - 2y_{i+1} + y_i}{h^2}$$

$$y''(x_i) \simeq \frac{y_{i+2} - 2y_{i+1} + y_i}{h^2}$$

(EDO) continue écrite pour tout  $x_i \in ]A, B[, \quad i = 1, \dots, n-1$  :

$$a_i \frac{y_{i+2} - 2y_{i+1} + y_i}{h^2} + b_i \frac{y_{i+1} - y_i}{h} + c_i y_i = f_i, \text{ pour tout } i = 1, \dots, n-1$$

$$y(x_0) = y(A) = y_0 = \alpha$$

$$y(x_n) = y(B) = y_n = \beta$$

$$\left(\frac{a_i}{h^2} + \frac{b_i}{h}\right)y_{i+1} + \left(-\frac{2a_i}{h^2} - \frac{b_i}{h} + c_i\right)y_i + \frac{a_i}{h^2}y_{i-1} = f_i \quad i = 1, \dots, n-1$$

$$\Longleftrightarrow r_i y_{i+1} + s_i y_i + t_i y_{i-1} = f_i \quad i = 1, \dots, n-1$$

$$\text{pour } i = 1 : r_1 y_2 + s_1 y_1 = f_1 - t_1 y_0$$

$$\text{pour } i = 2 : r_2 y_3 + s_2 y_2 + t_2 y_1 = f_2$$

$$\text{pour } i = 3 : r_3 y_4 + s_3 y_3 + t_3 y_2 = f_3$$

$$\text{pour } i = n-1 : s_{n-1} y_{n-1} + t_{n-1} y_{n-2} = f_{n-1} - r_{n-1} \beta$$

En utilisant les DF, la résolution numérique de l'EDO revient à résoudre le système linéaire de (n-1) inconnues  $y_1, y_2, \dots, y_{n-1}$  et (n-1) équations, chose équivalente à résoudre le système matriciel suivant :

$$A_h Y_h = F_h$$

$$\Rightarrow Y_h = A_h^{-1} F_h$$

$$\begin{pmatrix} s_1 & r_1 & 0 & \dots & 0 & 0 \\ t_2 & s_2 & r_2 & \dots & \dots & \dots \\ 0 & t_3 & s_3 & r_3 & \dots & 0 \\ \vdots & \ddots & \ddots & \ddots & \ddots & \\ \vdots & & \ddots & \ddots & s_{n-2} & r_{n-2} \\ 0 & \dots & \dots & \dots & t_{n-1} & s_{n-1} \end{pmatrix} \begin{pmatrix} y_1 \\ y_2 \\ y_3 \\ \vdots \\ \vdots \\ y_{n-1} \end{pmatrix} = \begin{pmatrix} f_1 - t_1 \alpha \\ f_2 \\ f_3 \\ \vdots \\ \vdots \\ f_{n-1} - r_{n-1} \beta \end{pmatrix}$$

Une fois  $Y_h$  est déterminé on s'occupera de la représentation graphique de y en fonction de x.

## 1.2 Code :

Code matlab

```

1 %Ce programme resoud EDO 2eme ordre sur [A, B] en utilisant la MDF
2 %-----
3 clear;
4 clc;
5 %-----
6 %Input
7 A = 0;
8 B = 1;
9 alpha = 2;
10 beta = exp(1)+exp(2);
11 %Pre-processeur

```

```

12 n = 10;
13 h= (B-A)/n;
14 X = A:h:B;
15 %Schema numerique
16 r = zeros(1,n-1);
17 s = zeros(1,n-1);
18 t = zeros(1,n-1);
19 Ah = zeros(n-1);
20 Fh = zeros(1,n-1);
21 for i=1:(n-1)
22     r(i) = ((X(i+1))^2+1)/(h^2)+X(i+1)/h;
23     s(i) = -2*((X(i+1))^2+1)/(h^2)-X(i+1)/h+1;
24     t(i) = ((X(i+1))^2+1)/(h^2);
25 end
26 Ah(1,1)=s(1); Ah(1,2)=r(1); Ah(n-1,n-2)=t(n-1); Ah(n-1,n-1)=s(n-1);
27 Fh(1)=(X(2)^2+X(2)+2)*exp(X(2))+(4*(X(2)^2)+2*X(2)+5)*exp(2*X(2))-t(1)*alpha;
28 Fh(n-1)=(X(n)^2+X(n)+2)*exp(X(n))+(4*(X(n)^2)+2*X(n)+5)*exp(2*X(n))-r(n-1)*beta;
29 for i=2:(n-2)
30     Ah(i,i)=s(i);
31     Ah(i,i-1)=t(i);
32     Ah(i,i+1)=r(i);
33     Fh(i)=(X(i+1)^2+X(i+1)+2)*exp(X(i+1))+(4*(X(i+1)^2)+2*X(i+1)+5)*exp(2*X(i+1));
34 end
35 %Resolution
36 Yh = Ah\'(Fh');
37 %Post-processeur
38 Ynum = zeros(1,n+1);
39 Ynum(1)=alpha; Ynum(length(X))=beta;
40 for i=2:(length(X)-1)
41     Ynum(i)=Yh(i-1);
42 end
43 %Validation
44 %Solution exacte
45 X1 = A:0.01:B;
46 Yex = zeros(1,length(X1));
47 for i=1:length(X1)
48     Yex(i)=exp(X1(i))+exp(2*X1(i));
49 end
50
51 a=figure(1);
52 plot(X,Ynum,'r'), title('Solution approchee')
53 saveas(a,'Solapprochee.eps','epsc');
54 hold off;
55 c=figure(2);
56 plot(X1,Yex,'b'), title('Solution exacte')
57 saveas(c,'Solexacte.eps','epsc');

```



### 1.2.1 Résultats graphiques

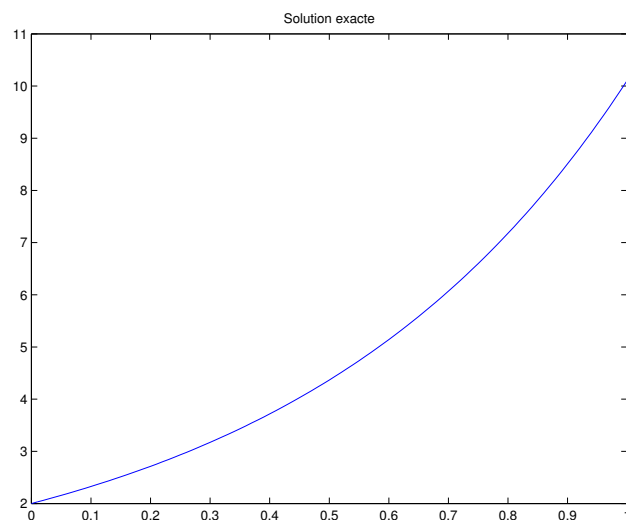


FIGURE 1.1 – Solution exacte

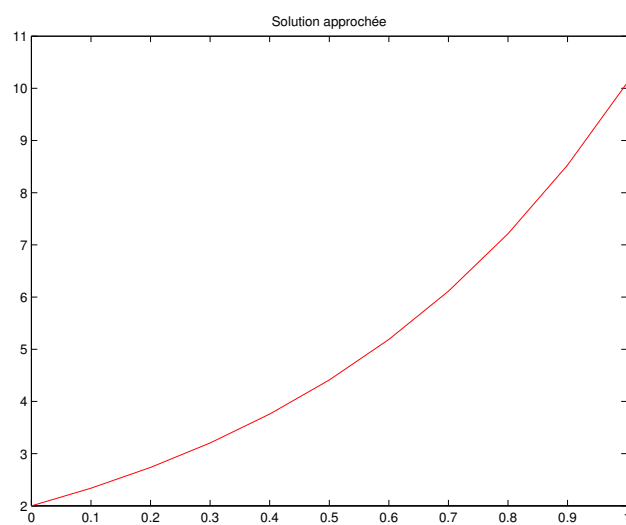


FIGURE 1.2 – Solution approchée

# Chapitre 2

## Résolution de l'équation de Laplace 2D par la méthode des Différences Finies

### 2.1 Définitions

#### Système global

Le principe de toute méthode numérique de discrétisation repose sur l'écriture d'un système comportant autant d'équations que d'inconnues. Ce système est dépendant du découpage du domaine (maillage) de calcul. En toute généralité, ce système ne peut être construit directement mais résulte d'un assemblage de systèmes d'équations locaux : \* en un noeud et ses voisins pour les différences finies, \* en une cellule et ses voisines en volumes finis, \* sur un élément en éléments finis.

#### Vecteur sollicitation

Le vecteur des sollicitations résulte de l'intégration de toutes les sollicitations externes à un système (mécanique, thermique ...) et représente le second membre du système d'équations global à résoudre pour obtenir la solution du problème traité.

#### Schéma

La notion de schéma est ici abordée au sens des méthodes numériques, à savoir en termes de schémas de discrétisation.

1. les schémas de discrétisation spatiale pour l'étude des problèmes stationnaires (ou statique pour le mécanicien des structures). 2. les schémas de discrétisation temporelle d'ordre 1 ou 2 pour l'étude respective des problèmes transitoire (thermique,

fluide) et dynamique (mécanique des structures). Au sein même de ces schémas, on peut distinguer les schémas explicites, implicites, semi-implicites ... Il peut s'écrire sous la forme récurrente ou les indices  $n-1$ ,  $n$  et  $n+1$  désignent des instants successifs de calculs.

3. les schémas spatio-temporels, c'est-à-dire regroupant un seul schéma, les caractéristiques des deux précédents.

Les schémas résultent de techniques de discrétisation telles les méthodes des différences finies, des volumes finis ou encore des éléments finis.

## Discret

On parle d'une équation discrète ou d'un domaine discret pour spécifier des entités en nombres finis. La notion de 'discret' s'oppose à la notion de 'continu' qui elle représente aussi bien un domaine géométrique ou un système d'équations définis en tout point du domaine (infinité de points géométriques et de valeurs).

## Nœud

Les noeuds sont des points de coordonnées du domaine étudié en lesquels sont définies les valeurs d'une fonction, utilisées lors d'une l'approximation nodale par exemple. On les nomme noeuds d'approximation.

Des noeuds peuvent également servir de support à la définition des éléments dans le cadre de la méthode des éléments finis. Ce sont des noeuds géométriques .

Les noeuds d'approximation et les noeuds géométriques peuvent être distincts ou confondus.

La figure ci-dessous illustre un maillage simple comportant 8 noeuds.

## Coordonnées

Les coordonnées d'un point ou d'un noeud définissent sa localisation spatiale dans un espace donné (cartésien, cylindrique, polaire ...).

On souhaite résoudre l'EDP suivante :

$$\begin{cases} \Delta u = f(x, y) \\ (x, y) \in [0, 20], [0, 10] \end{cases}$$

Avec les conditions aux limites suivantes :

$$\begin{cases} u(0, y) = y^2 = f_1(y) \\ u(20, y) = 400 + y^2 = f_2(y) \\ u(x, 0) = x^2 = g_1(x) \\ u(x, 10) = x^2 + 100 = g_2(x) \end{cases}$$

Pour résoudre cette équation avec la méthode des différences finies, il faut suivre les étapes suivantes :

## 2.2 Discrétisation de l'EDP

Soit :

$$\Delta u = \frac{\partial^2 u}{\partial x^2} + \frac{\partial^2 u}{\partial y^2} = f(x, y), \forall (x, y) \in [0, 20] \times [0, 10]$$

On prendra  $h_x$  et  $h_y$  les pas de discrétisation des intervalles  $[0, 20]$  et  $[0, 10]$

1. Discrétisation de l'intervalle  $[0, 20]$

$$h_x = \frac{b-a}{n_x} \text{ ( } n_x \text{ étant le nombre d'intervalles dans } [0, 20] \text{ )}$$

$$\Rightarrow x(i) = x_i = 0 + i \times h_x, i = 0, 1, \dots, n_x$$

2. Discrétisation de l'intervalle  $[0, 10]$

$$h_y = \frac{d-c}{n_y} \text{ ( } n_y \text{ étant le nombre d'intervalles dans } [0, 10] \text{ )}$$

$$\Rightarrow y(j) = y_j = 0 + j \times h_y, j = 0, 1, \dots, n_y$$

**Remarque1.** : Constatoons que  $x_{i+1} = 0 + (i + 1)h_x = (0 + ih_x) + h_x = x_i + h_x$ . Dans la suite, nous remplacerons chaque fois  $x_i + h_x, x_i - h_x, y_j + h_y, y_j - h_y$  par  $x_{i+1}, x_{i-1}, y_{j+1}, y_{j-1}$  .

## 2.3 Approximation de l'EDP

Notre équation de départ est :

$$\Delta u = f(x, y) \Leftrightarrow \frac{\partial^2 u}{\partial x^2} + \frac{\partial^2 u}{\partial y^2} = f(x, y)$$

Posons  $u(x_i, y_j) = u_{i,j}$  (en notation indicielle). On va maintenant approximer les dérivées secondes de  $u$  par rapport à  $x$  et  $y$  avec la formule de Taylor, on commence avec :

$$\frac{\partial^2 u}{\partial x^2} \approx \frac{u_{x_{i+1}, y_j} - 2u_{x_i, y_j} + u_{x_{i-1}, y_j}}{h_x^2}$$

Puisque  $x_i$  et  $y_j$  jouent un rôle symétrique dans l'équation de Laplace, un raisonnement analogue à celui de l'approximation de  $u''_x$  nous donne :

$$\frac{\partial^2 u}{\partial y^2} \approx \frac{u_{x_i, y_{j+1}} - 2u_{x_i, y_j} + u_{x_i, y_{j-1}}}{h_y^2}$$

rapportons ces approximations dans notre EDP de départ, on obtient :

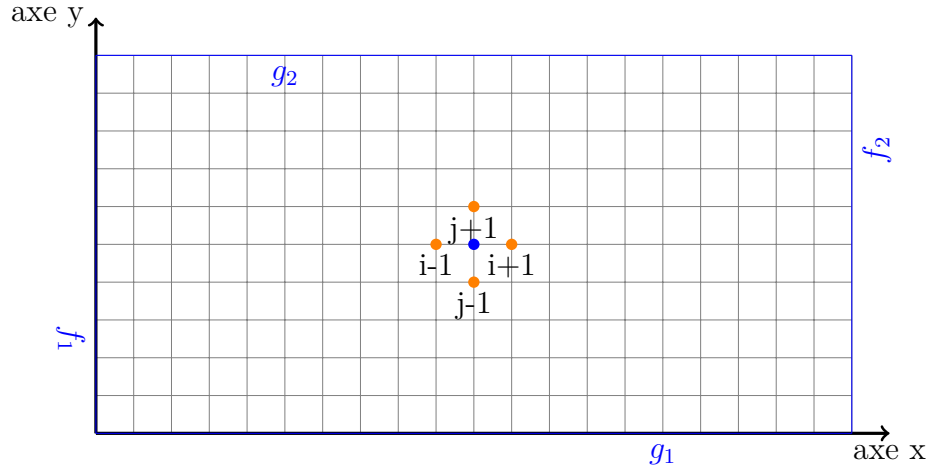
$$\Leftrightarrow \Delta u \approx \frac{u_{i+1,j} - 2u_{i,j} + u_{i-1,j}}{h_x^2} + \frac{u_{i,j+1} - 2u_{i,j} + u_{i,j-1}}{h_y^2} = f(x_i, y_j)$$

Dans ce cas particulier ou  $h_x = h_y = h$  , donc nous avons finalement :

$$\begin{cases} \Delta u = f(x_i, y_j) \Leftrightarrow \frac{u_{i+1,j} + u_{i,j+1} - 4u_{i,j} + u_{i-1,j} + u_{i,j-1}}{h^2} = f(x_i, y_j) \\ i = 0, 1, \dots, n_x \text{ et } j = 0, 1, \dots, n_y \end{cases}$$

**Remarque2.** : Pour la numérotation il s'avère l'égitime d'utiliser cette relation qui nous aide à associer à chaque noeud de coordonnées (i,j) un numéro noté N tel que :  $(i, j) \rightarrow N = i + (j - 1)(n_x - 1)$

**Remarque3.** :A chaque étape, nous remarquons que pour calculer la valeur de  $u_{i,j}$  au point  $(x_i, y_j)$  nous avons besoin de connaitre les points  $u_{i-1,j}$  ,  $u_{i,j-1}$  ,  $u_{i+1,j}$  et  $u_{i,j+1}$  comme l'indique le dessin suivant :



la formule à 5 points qui peut être représentée comme suit :

$$\Delta u = f(x_i, y_j) \Rightarrow \frac{1}{h^2} \begin{Bmatrix} 1 & 1 & 1 \\ 1 & -4 & 1 \\ 1 & 1 & 1 \end{Bmatrix} u_{i,j} = f(x_i, y_j)$$

## 2.4 Calcul numérique

### 2.4.1 Principe

Nous obtenons un système linéaire à  $(n_x - 1).(n_y - 1)$  équations et  $(n_x - 1).(n_y - 1)$  inconnues de la forme  $A_h.U_h = B_h$ , que nous pouvons résoudre numériquement en inversant la matrice carré  $A_h$  :

$$U_h = A_h^{-1}.B_h$$

## 2.4.2 Algorithme1

Code matlab

```
1 %Ce programme resoud une EDP 2eme ordre sur  $[A, B] \times [C, D]$  en utilisant la MDF
2 %-----
3 clear
4 clc
5 %-----
6 %Input
7 A = 0;
8 B = 20;
9 C = 0;
10 D = 10;
11 %Pre-processeur
12 nx = 40;
13 ny = nx/2;
14 h = (B-A)/nx;
15 X = A:h:B;
16 Y = C:h:D;
17 f1 = @(y) y^2;
18 f2 = @(y) 400+y^2;
19 g1 = @(x) x^2;
20 g2 = @(x) 100+x^2;
21 %Schema numerique
22 Ah = zeros((nx-1)*(ny-1));
23 F = zeros(1,(nx-1)*(ny-1));
24 m = nx-1;
25 %1er cas
26 for i=2:(nx-2)
27     for j=2:(ny-2)
28         N=i+(j-1)*m;
29         Ah(N,N)=-4; Ah(N,N-1)=1; Ah(N,N+1)=1;
30         Ah(N,N+m)=1; Ah(N,N-m)=1; F(N)=4*(h^2);
31     end
32 end
33 %2eme cas
34 i=1; j=1;
35 N=i+(j-1)*m;
36 Ah(N,N)=-4; Ah(N,N+1)=1;
37 Ah(N,N+m)=1; F(N)=4*(h^2)-f1(Y(j+1))-g1(X(j+1));
38 %3eme cas
39 j=ny-1;
40 for i=2:(nx-2)
41     N=i+(j-1)*m;
42     Ah(N,N)=-4; Ah(N,N-1)=1; Ah(N,N+1)=1;
43     Ah(N,N-m)=1; F(N)=4*(h^2)-g2(X(i+1));
44 end
45 %4eme cas
46 i=1;
47 for j=2:(ny-2)
48     N=i+(j-1)*m;
49     Ah(N,N)=-4; Ah(N,N+1)=1;
50     Ah(N,N+m)=1; Ah(N,N-m)=1; F(N)=4*(h^2)-f1(Y(j+1));
51 end
52 %5eme cas
```

```

53 i=1; j=ny-1;
54 N=i+(j-1)*m;
55 Ah(N,N)=-4; Ah(N,N+1)=1;
56 Ah(N,N-m)=1; F(N)=4*(h^2)-f1(Y(j+1))-g2(X(i+1));
57 %6eme cas
58 j=1;
59 for i=2:(nx-2)
60     N=i+(j-1)*m;
61     Ah(N,N)=-4; Ah(N,N-1)=1; Ah(N,N+1)=1;
62     Ah(N,N+m)=1; F(N)=4*(h^2)-g1(X(i+1));
63 end
64 %7eme cas
65 i=nx-1; j=1;
66 N=i+(j-1)*m;
67 Ah(N,N)=-4; Ah(N,N-1)=1;
68 Ah(N,N+m)=1; F(N)=4*(h^2)-g1(X(i+1))-f2(Y(j+1));
69 %8eme cas
70 i=nx-1;
71 for j=2:(ny-2)
72     N=i+(j-1)*m;
73     Ah(N,N)=-4; Ah(N,N-1)=1;
74     Ah(N,N+m)=1; Ah(N,N-m)=1; F(N)=4*(h^2)-f2(Y(j+1));
75 end
76 %9eme cas
77 i=nx-1; j=ny-1;
78 N=i+(j-1)*m;
79 Ah(N,N)=-4; Ah(N,N-1)=1;
80 Ah(N,N-m)=1; F(N)=4*(h^2)-g2(X(i+1))-f2(Y(j+1));
81 %Resolution
82 Ysol=Ah\'(F');
83 Yh=transpose(reshape(Ysol,nx-1,ny-1));
84 %Post-processeur
85 Ynum=zeros(ny+1,nx+1);
86 Ynum(1,nx+1)=400; Ynum(ny+1,1)=100; Ynum(ny+1,nx+1)=500;
87 for j=2:(length(X)-1)
88     Ynum(1,j)=X(j)^2;
89 end
90 for j=2:(length(X)-1)
91     Ynum(ny+1,j)=100+X(j)^2;
92 end
93 for i=2:(length(Y)-1)
94     Ynum(i,1)=Y(i)^2;
95 end
96 for i=2:(length(Y)-1)
97     Ynum(i,nx+1)=400+Y(i)^2;
98 end
99 for i=2:(length(Y)-1)
100     for j=2:(length(X)-1)
101         Ynum(i,j)=Yh(i-1,j-1);
102     end
103 end
104 %validation
105 %Solution exacte
106 [U,V]=meshgrid(X,Y);
107 Yex=U.^2+V.^2;

```

```
108 subplot(1,2,1), mesh(U,V,Ynum), title('Solution approchee')
109 subplot(1,2,2), mesh(U,V,Yex), title('Solution exacte')
```



### 2.4.3 Résultats graphiques

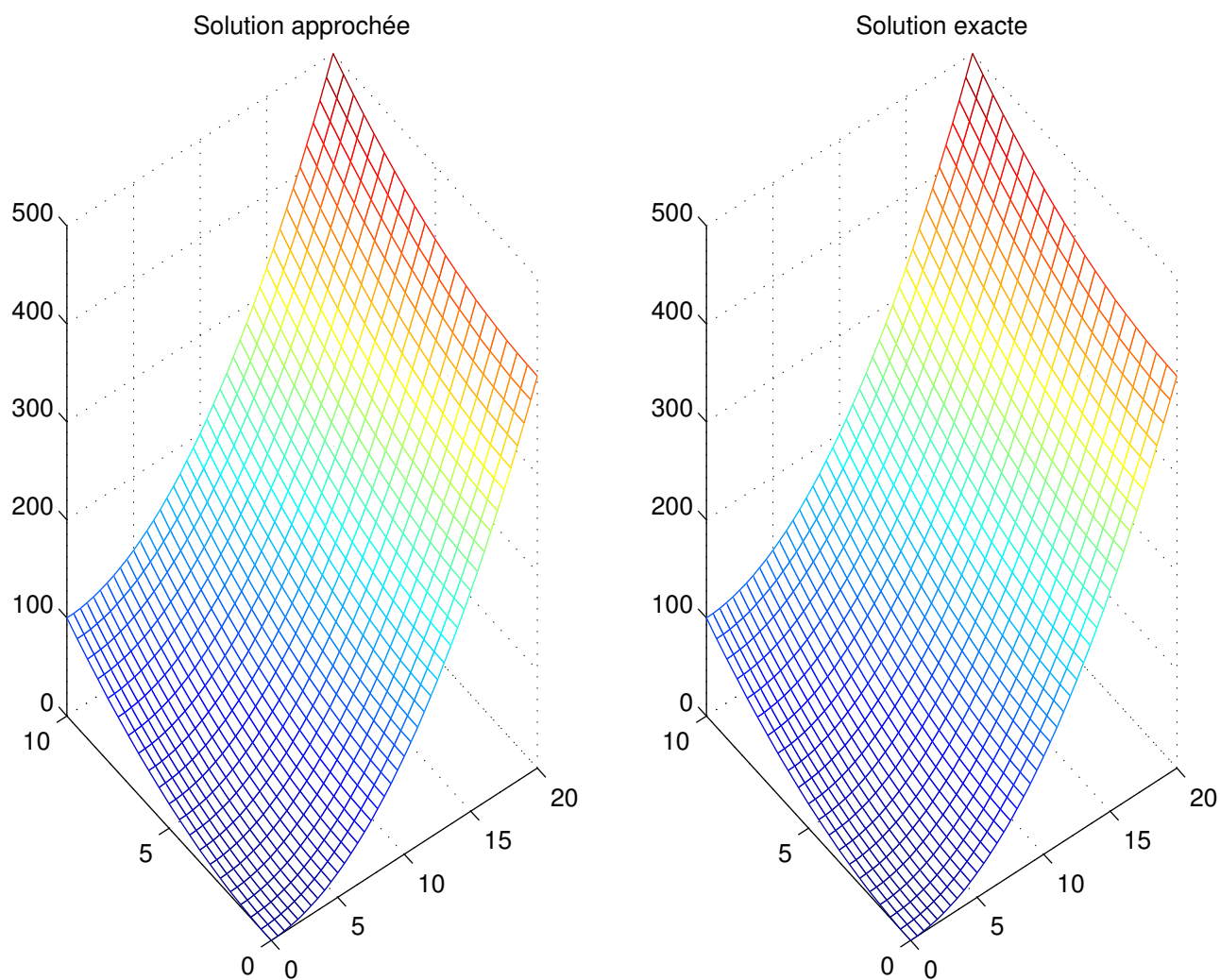


FIGURE 2.1 – Solution Exacte VS Solution Numérique

## Chapitre 3

# Résolution de l'équation de Laplace 2D avec des conditions aux limites mixtes

On souhaite résoudre l'équation aux dérivées partielles suivante :

$$\begin{cases} \Delta u(x, y) = f(x, y) \\ (x, y) \in ]A, B[ \times ]C, D[ \end{cases}$$

Avec les conditions aux limites suivantes :

$$\begin{cases} u_{\Gamma_1} = f_1(x) \\ u_{\Gamma_3} = f_2(x) \\ \frac{\partial u}{\partial \eta}_{/\Gamma_2} = g_1(x) \\ \frac{\partial u}{\partial \eta}_{/\Gamma_4} = g_2(x) \end{cases}$$

Avec  $A = C = 0$ , et  $B = 20$ ,  $D = 10$ ,  $f(x, y) = 4$ .  
 $f_1(x) = x^2$ ,  $f_2(x) = x^2 + 100$ ,  $g_1(x) = 2x$ ,  $g_2(x) = -2x$

### 3.1 Approximation de l'EDP :

Soit :

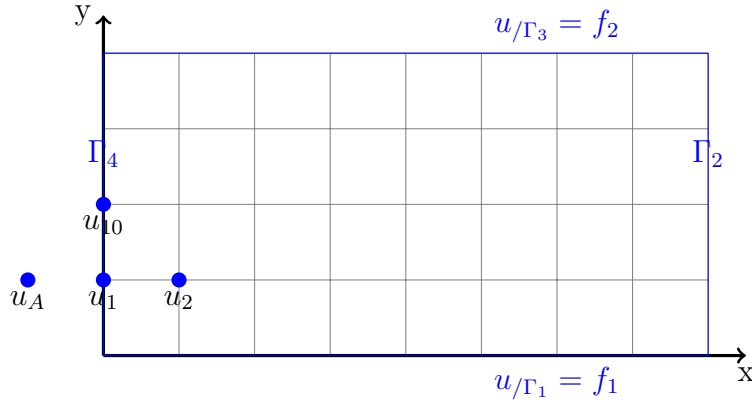
$$\Delta u = \frac{\partial^2 u}{\partial x^2} + \frac{\partial^2 u}{\partial y^2} = f(x, y), \forall (x, y) \in [0, 20] \times [0, 10]$$

Alors on a :

$$\begin{cases} \Delta u(x_i, y_j) = f(x_i, y_j) \Leftrightarrow \frac{1}{h^2}(u_{i+1,j} + u_{i,j+1} - 4u_{i,j} + u_{i-1,j} + u_{i,j-1}) = f(x_i, y_j) \\ i = 0, 1, \dots, n_x \text{ et } j = 0, 1, \dots, n_y \end{cases}$$

A chaque étape, le calcul de la valeur de  $u_{i,j}$  au point  $(x_i, y_j)$  avec  $1 \leq i \leq n_x - 1$  et  $1 \leq j \leq n_y - 1$  se fait de manière identique au chapitre précédent.

Pour le calcul des valeurs de  $u$  sur les bord  $\Gamma_2$  et  $\Gamma_4$  on ajoute des nœuds fictifs comme l'indique la figure suivante :



Par exemple pour le premier nœud on a l'équation :

$$\frac{1}{h^2}(-4u_1 + u_2 + u_{10} + u_A) = f_{0,1}$$

$$\begin{aligned} \frac{\partial u}{\partial \eta}(A) &= -\frac{\partial u}{\partial x}(A) \\ &= -\frac{u_1 - u_A}{h} \\ &= -2x_0 \end{aligned}$$

donc

$$u_A = u_1 - 2x_0h$$

d'où

$$-3u_1 + u_2 + u_{10} = h^2 f_{0,1} + 2x_0h$$

On fait de même pour les autres nœud et nous obtenons un système linéaire à  $(n_x + 1).(n_y - 1)$  équations et  $(n_x + 1).(n_y - 1)$  inconnues de la forme  $A_h.U_h = F_h$ , que nous pouvons résoudre numériquement en inversant la matrice carré  $A_h$  :

$$U_h = A_h^{-1}.F_h$$

.

## 3.2 Code Matlab

Conditions aux limites

```
1 %Ce programme resoud une EDP 2eme ordre sur  $[A, B] \times [C, D]$  en utilisant la MDF
2 clear
3 clc
4 %Input
5 A = 0;
6 B = 20;
7 C = 0;
8 D = 10;
9 %Pre-processeur
10 nx = 40;
11 ny = nx/2;
12 h = (B-A)/nx;
13 X = A:h:B;
14 Y = C:h:D;
15 g1 = @(x) x^2;
16 g2 = @(x) 100+x^2;
17 f1 = @(y) y^2;
18 f2 = @(y) 400+y^2;
19 %Schema numerique
20 Ah = zeros((nx+1)*(ny-1));
21 F = zeros(1,(nx+1)*(ny-1));
22 m = nx+1;
23 %1er cas
24 for i=2:nx
25     for j=2:(ny-2)
26         N=i+(j-1)*m;
27         Ah(N,N)=-4; Ah(N,N-1)=1; Ah(N,N+1)=1;
28         Ah(N,N+m)=1; Ah(N,N-m)=1; F(N)=4*(h^2);
29     end
30 end
31 %2eme cas
32 i=1; j=1;
33 N=i+(j-1)*m;
34 Ah(N,N)=-3; Ah(N,N+1)=1;
35 Ah(N,N+m)=1; F(N)=4*(h^2)-g1(X(i))+2*X(i)*h;
36 %3eme cas
37 j=ny-1;
38 for i=2:nx
39     N=i+(j-1)*m;
40     Ah(N,N)=-4; Ah(N,N-1)=1; Ah(N,N+1)=1;
41     Ah(N,N-m)=1; F(N)=4*(h^2)-g2(X(i));
42 end
43 %4eme cas
44 i=1;
45 for j=2:(ny-2)
46     N=i+(j-1)*m;
47     Ah(N,N)=-3; Ah(N,N+1)=1;
48     Ah(N,N+m)=1; Ah(N,N-m)=1; F(N)=4*(h^2)+2*X(i)*h;
49 end
50 %5eme cas
51 i=1; j=ny-1;
52 N=i+(j-1)*m;
```

```

53 Ah(N,N)=-3; Ah(N,N+1)=1;
54 Ah(N,N-m)=1; F(N)=4*(h^2)-g2(X(i))+2*X(i)*h;
55 %6eme cas
56 j=1;
57 for i=2:nx
58     N=i+(j-1)*m;
59     Ah(N,N)=-4; Ah(N,N-1)=1; Ah(N,N+1)=1;
60     Ah(N,N+m)=1; F(N)=4*(h^2)-g1(X(i));
61 end
62 %7eme cas
63 i=nx+1; j=1;
64 N=i+(j-1)*m;
65 Ah(N,N)=-3; Ah(N,N-1)=1;
66 Ah(N,N+m)=1; F(N)=4*(h^2)-g1(X(i))-2*X(i)*h;
67 %8eme cas
68 i=nx+1;
69 for j=2:(ny-2)
70     N=i+(j-1)*m;
71     Ah(N,N)=-3; Ah(N,N-1)=1;
72     Ah(N,N+m)=1; Ah(N,N-m)=1; F(N)=4*(h^2)-2*X(i)*h;
73 end
74 %9eme cas
75 i=nx+1; j=ny-1;
76 N=i+(j-1)*m;
77 Ah(N,N)=-3; Ah(N,N-1)=1;
78 Ah(N,N-m)=1; F(N)=4*(h^2)-g2(X(i))-2*X(i)*h;
79 %Resolution
80 Ysol=Ah\'(F');
81 Yh=transpose(reshape(Ysol,nx+1,ny-1));
82 %Post-processeur
83 Ynum=zeros(ny+1,nx+1);
84 Ynum(2:ny,1:nx+1)=Yh;
85 for j=1:length(X)
86     Ynum(1,j)=g1(X(j));
87 end
88 for j=1:length(X)
89     Ynum(ny+1,j)=g2(X(j));
90 end
91 %validation
92 %Solution exacte
93 [U,V]=meshgrid(X,Y);
94 Yex=U.^2+V.^2;
95 subplot(1,2,1), mesh(U,V,Ynum), title('Solution approchee')
96 subplot(1,2,2), mesh(U,V,Yex), title('Solution exacte')

```

### 3.3 Résultats graphiques

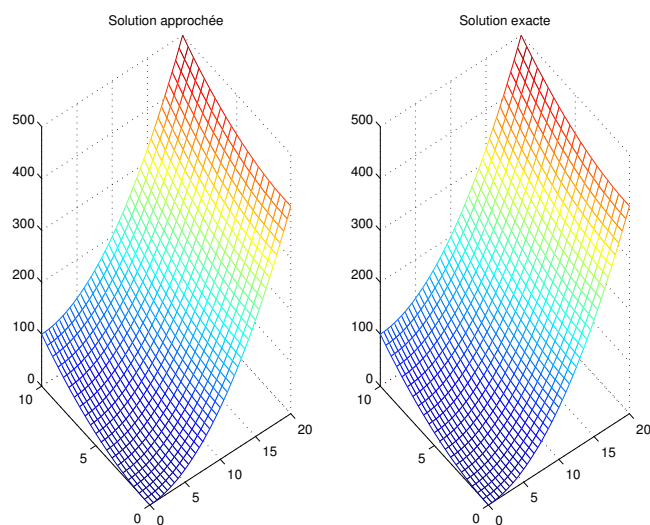


FIGURE 3.1 – Solutions obtenues

## Chapitre 4

# Résolution de l'équation de Laplace 3D par la méthode des Différences Finies

On souhaite résoudre l'EDP suivante :

$$\begin{cases} \Delta u = f(x, y, z) \\ (x, y, z) \in [0, 1], [0, 1], [0, 1] \end{cases}$$

Avec les conditions aux limites suivantes :

$$\begin{cases} u(0, y, z) = y^2 + z^2 = f_1(y, z) \\ u(1, y, z) = 1 + y^2 + z^2 = f_2(y, z) \\ u(x, 0, z) = x^2 + z^2 = g_1(x, z) \\ u(x, 1, z) = 1 + x^2 + z^2 = g_2(x, z) \\ u(x, y, 0) = x^2 + y^2 = h_1(x, y) \\ u(x, y, 1) = 1 + x^2 + y^2 = h_2(x, y) \end{cases}$$

Généralement la résolution analytique de ce type d'EDP est difficile :  
Numériquement, c'est toujours possible, en effet :

### 4.1 Discrétisation du domaine $]0, 1[^3$

On considère

$$n = 4 \Rightarrow h = \frac{1}{n} = 0.25$$

Ce qui nous donne un système de  $N = (n - 1)^3 = 27$  équations de 27 inconnues.  
Pour éclaircir la technique si on représente ci-dessous les plans de discrétisation de u

après avoir divisé le domaine de définition des variables selon le  $h$  obtenu.  
On a donc :

$$x(i) = x_i = 0 + i.h, \quad i = 0, \dots, 4$$

$$y(j) = y_j = 0 + j.h, \quad j = 0, \dots, 4$$

$$z(k) = z_k = 0 + k.h, \quad k = 0, \dots, 4$$

## 4.2 Schéma numérique(DF)

Pour  $i, j$  et  $k$  on a :

$$N = (k - 1)(n - 1)^2 + (j - 1)(n - 1) + i$$

$$A(N, N) = -6, \quad A(N, N + 1) = 1, \quad A(N, N - 1) = 1$$

$$A(N, N + m) = 1, \quad A(N, N - m) = 1 \quad \text{avec } m = n - 1$$

$$A(N, N + m^2) = 1, \quad A(N, N - m^2) = 1 \quad \text{avec } m = n - 1$$

$$F(N) = f(x_i, y_j, z_k)$$

## 4.3 Calcul numérique

### 4.3.1 Algorithme

Code matlab

```

1 %Ce programme resoud une EDP 3eme ordre sur [A, B]^3 en utilisant la MDF
2 %-----
3 clear
4 clc
5 %-----
6 %Input
7 A = 0;
8 B = 1;
9 %Pre-processeur
10 n = 20;
11 h = (B-A)/n;
12 x = A:h:B;
13 y = A:h:B;
14 z = A:h:B;
15 %Schema numerique
16 Ah = zeros((n-1)^3);
17 F = zeros(1,(n-1)^3);
18 %1ere cas
19 i=1; j=1; k=1;
20 N=i+(j-1)*(n-1)+(k-1)*((n-1)^2);
21 Ah(N,N)=-6;
22 Ah(N,N+1)=1;
```



```

23 Ah(N,N+(n-1))=1;
24 Ah(N,N+(n-1)^2)=1;
25 F(N)=6*(h^2)-f1(y(j+1),z(k+1))-g1(x(i+1),z(k+1))-r1(x(i+1),y(j+1));
26 %2eme cas
27 i=n-1; j=1; k=1;
28 N=i+(j-1)*(n-1)+(k-1)*((n-1)^2);
29 Ah(N,N)=-6;
30 Ah(N,N-1)=1;
31 Ah(N,N+(n-1))=1;
32 Ah(N,N+(n-1)^2)=1;
33 F(N)=6*(h^2)-f2(y(j+1),z(k+1))-g1(x(i+1),z(k+1))-r1(x(i+1),y(j+1));
34 %3eme cas
35 i=1; k=1; j=n-1;
36 N=i+(j-1)*(n-1)+(k-1)*((n-1)^2);
37 Ah(N,N)=-6;
38 Ah(N,N+1)=1;
39 Ah(N,N-(n-1))=1;
40 Ah(N,N+(n-1)^2)=1;
41 F(N)=6*(h^2)-f1(y(j+1),z(k+1))-g2(x(i+1),z(k+1))-r1(x(i+1),y(j+1));
42 %4eme cas
43 i=1; j=1; k=n-1;
44 N=i+(j-1)*(n-1)+(k-1)*((n-1)^2);
45 Ah(N,N)=-6;
46 Ah(N,N+1)=1;
47 Ah(N,N+(n-1))=1;
48 Ah(N,N-(n-1)^2)=1;
49 F(N)=6*(h^2)-f1(y(j+1),z(k+1))-g1(x(i+1),z(k+1))-r2(x(i+1),y(j+1));
50 %5eme cas
51 for i=2:n-2
52     for j=2:n-2
53         for k=2:n-2
54             N=i+(j-1)*(n-1)+(k-1)*((n-1)^2);
55             Ah(N,N)=-6;
56             Ah(N,N+1)=1;
57             Ah(N,N-1)=1;
58             Ah(N,N+(n-1))=1;
59             Ah(N,N-(n-1))=1;
60             Ah(N,N+(n-1)^2)=1;
61             Ah(N,N-(n-1)^2)=1;
62             F(N)=6*(h^2);
63         end
64     end
65 end
66 %6eme cas
67 i=n-1; j=n-1; k=1;
68 N=i+(j-1)*(n-1)+(k-1)*((n-1)^2);
69 Ah(N,N)=-6;
70 Ah(N,N-1)=1;
71 Ah(N,N-(n-1))=1;
72 Ah(N,N+(n-1)^2)=1;
73 F(N)=6*(h^2)-f2(y(j+1),z(k+1))-g2(x(i+1),z(k+1))-r1(x(i+1),y(j+1));
74 %7eme cas
75 i=n-1; j=1; k=n-1;
76 N=i+(j-1)*(n-1)+(k-1)*((n-1)^2);
77 Ah(N,N)=-6;

```

```

78 Ah(N,N-1)=1;
79 Ah(N,N+(n-1))=1;
80 Ah(N,N-(n-1)^2)=1;
81 F(N)=6*(h^2)-f2(y(j+1),z(k+1))-g1(x(i+1),z(k+1))-r2(x(i+1),y(j+1));
82 %8eme cas
83 i=1; j=n-1; k=n-1;
84 N=i+(j-1)*(n-1)+(k-1)*((n-1)^2);
85 Ah(N,N)=-6;
86 Ah(N,N+1)=1;
87 Ah(N,N-(n-1))=1;
88 Ah(N,N-(n-1)^2)=1;
89 F(N)=6*(h^2)-f1(y(j+1),z(k+1))-g2(x(i+1),z(k+1))-r2(x(i+1),y(j+1));
90 %9eme cas
91 i=n-1; j=n-1; k=n-1;
92 N=i+(j-1)*(n-1)+(k-1)*((n-1)^2);
93 Ah(N,N)=-6;
94 Ah(N,N-1)=1;
95 Ah(N,N-(n-1))=1;
96 Ah(N,N-(n-1)^2)=1;
97 F(N)=6*(h^2)-f2(y(j+1),z(k+1))-g2(x(i+1),z(k+1))-r2(x(i+1),y(j+1));
98 %10eme cas
99 i=1;
100 for j=2:n-2
101     for k=2:n-2
102         N=i+(j-1)*(n-1)+(k-1)*((n-1)^2);
103         Ah(N,N)=-6;
104         Ah(N,N+1)=1;
105         Ah(N,N+(n-1))=1;
106         Ah(N,N-(n-1))=1;
107         Ah(N,N+(n-1)^2)=1;
108         Ah(N,N-(n-1)^2)=1;
109         F(N)=6*(h^2)-f1(y(j+1),z(k+1));
110     end
111 end
112 %11eme cas
113 i=n-1;
114 for j=2:n-2
115     for k=2:n-2
116         N=i+(j-1)*(n-1)+(k-1)*((n-1)^2);
117         Ah(N,N)=-6;
118         Ah(N,N-1)=1;
119         Ah(N,N+(n-1))=1;
120         Ah(N,N-(n-1))=1;
121         Ah(N,N+(n-1).^2)=1;
122         Ah(N,N-(n-1).^2)=1;
123         F(N)=6*(h^2)-f2(y(j+1),z(k+1));
124     end
125 end
126 %12eme cas
127 i=1; j=1;
128 for k=2:n-2
129     N=i+(j-1)*(n-1)+(k-1)*((n-1)^2);
130     Ah(N,N)=-6;
131     Ah(N,N+1)=1;
132     Ah(N,N+(n-1))=1;

```

```

133     Ah(N,N+(n-1)^2)=1;
134     Ah(N,N-(n-1)^2)=1;
135     F(N)=6*(h^2)-f1(y(j+1),z(k+1))-g1(x(i+1),z(k+1));
136 end
137 %13eme cas
138 i=n-1; j=1;
139 for k=2:n-2
140     N=i+(j-1)*(n-1)+(k-1)*((n-1)^2);
141     Ah(N,N)=-6;
142     Ah(N,N-1)=1;
143     Ah(N,N+(n-1))=1;
144     Ah(N,N+(n-1)^2)=1;
145     Ah(N,N-(n-1)^2)=1;
146     F(N)=6*(h^2)-f2(y(j+1),z(k+1))-g1(x(i+1),z(k+1));
147 end
148 %14eme cas
149 j=1;
150 for i=2:n-2
151     for k=2:n-2
152         N=i+(j-1)*(n-1)+(k-1)*((n-1)^2);
153         Ah(N,N)=-6;
154         Ah(N,N+1)=1;
155         Ah(N,N-1)=1;
156         Ah(N,N+(n-1))=1;
157         Ah(N,N+(n-1)^2)=1;
158         Ah(N,N-(n-1)^2)=1;
159         F(N)=6*(h^2)-g1(x(i+1),z(k+1));
160     end
161 end
162 %15eme cas
163 j=n-1;
164 for i=2:n-2
165     for k=2:n-2
166         N=i+(j-1)*(n-1)+(k-1)*((n-1)^2);
167         Ah(N,N)=-6;
168         Ah(N,N+1)=1;
169         Ah(N,N-1)=1;
170         Ah(N,N-(n-1))=1;
171         Ah(N,N+(n-1)^2)=1;
172         Ah(N,N-(n-1)^2)=1;
173         F(N)=6*(h^2)-g2(x(i+1),z(k+1));
174     end
175 end
176 %16eme cas
177 i=1; j=n-1;
178 for k=2:n-2
179     N=i+(j-1)*(n-1)+(k-1)*((n-1)^2);
180     Ah(N,N)=-6;
181     Ah(N,N+1)=1;
182     Ah(N,N-(n-1))=1;
183     Ah(N,N+(n-1)^2)=1;
184     Ah(N,N-(n-1)^2)=1;
185     F(N)=6*(h^2)-f1(y(j+1),z(k+1))-g2(x(i+1),z(k+1));
186 end
187 %17eme cas

```

```

188 i=n-1; j=n-1;
189 for k=2:n-2
190     N=i+(j-1)*(n-1)+(k-1)*((n-1)^2);
191     Ah(N,N)=-6;
192     Ah(N,N-1)=1;
193     Ah(N,N-(n-1))=1;
194     Ah(N,N+(n-1)^2)=1;
195     Ah(N,N-(n-1)^2)=1;
196     F(N)=6*(h^2)-f2(y(j+1),z(k+1))-g2(x(i+1),z(k+1));
197 end
198 %18eme cas
199 j=1; k=1;
200 for i=2:n-2
201     N=i+(j-1)*(n-1)+(k-1)*((n-1)^2);
202     Ah(N,N)=-6;
203     Ah(N,N-1)=1;
204     Ah(N,N+1)=1;
205     Ah(N,N+(n-1))=1;
206     Ah(N,N+(n-1)^2)=1;
207     F(N)=6*(h^2)-g1(x(i+1),z(k+1))-r1(x(i+1),y(j+1));
208 end
209 %19eme cas
210 j=n-1; k=1;
211 for i=2:n-2
212     N=i+(j-1)*(n-1)+(k-1)*((n-1)^2);
213     Ah(N,N)=-6;
214     Ah(N,N-1)=1;
215     Ah(N,N+1)=1;
216     Ah(N,N-(n-1))=1;
217     Ah(N,N+(n-1)^2)=1;
218     F(N)=6*(h^2)-g2(x(i+1),z(k+1))-r1(x(i+1),y(j+1));
219 end
220 %20eme cas
221 i=1; k=1;
222 for j=2:n-2
223     N=i+(j-1)*(n-1)+(k-1)*((n-1)^2);
224     Ah(N,N)=-6;
225     Ah(N,N+1)=1;
226     Ah(N,N-(n-1))=1;
227     Ah(N,N+(n-1))=1;
228     Ah(N,N+(n-1)^2)=1;
229     F(N)=6*(h^2)-f1(y(j+1),z(k+1))-r1(x(i+1),y(j+1));
230 end
231 %21eme cas
232 i=n-1; k=1;
233 for j=2:n-2
234     N=i+(j-1)*(n-1)+(k-1)*((n-1)^2);
235     Ah(N,N)=-6;
236     Ah(N,N-1)=1;
237     Ah(N,N-(n-1))=1;
238     Ah(N,N+(n-1))=1;
239     Ah(N,N+(n-1)^2)=1;
240     F(N)=6*(h^2)-f2(y(j+1),z(k+1))-r1(x(i+1),y(j+1));
241 end
242 %22eme cas

```

```

243 k=1;
244 for i=2:n-2
245     for j=2:n-2
246         N=i+(j-1)*(n-1)+(k-1)*((n-1)^2);
247         Ah(N,N)=-6;
248         Ah(N,N+1)=1;
249         Ah(N,N-1)=1;
250         Ah(N,N-(n-1))=1;
251         Ah(N,N+(n-1))=1;
252         Ah(N,N+(n-1)^2)=1;
253         F(N)=6*(h^2)-r1(x(i+1),y(j+1));
254     end
255 end
256 %23eme cas
257 k=n-1;
258 for i=2:n-2
259     for j=2:n-2
260         N=i+(j-1)*(n-1)+(k-1)*((n-1)^2);
261         Ah(N,N)=-6;
262         Ah(N,N+1)=1;
263         Ah(N,N-1)=1;
264         Ah(N,N-(n-1))=1;
265         Ah(N,N+(n-1))=1;
266         Ah(N,N-(n-1)^2)=1;
267         F(N)=6*(h^2)-r2(x(i+1),y(j+1));
268     end
269 end
270 %24eme cas
271 k=n-1; j=1;
272 for i=2:n-2
273     N=i+(j-1)*(n-1)+(k-1)*((n-1)^2);
274     Ah(N,N)=-6;
275     Ah(N,N+1)=1;
276     Ah(N,N-1)=1;
277     Ah(N,N+(n-1))=1;
278     Ah(N,N-(n-1)^2)=1;
279     F(N)=6*(h^2)-r2(x(i+1),y(j+1))-g1(x(i+1),z(k+1));
280 end
281 %25eme cas
282 k=n-1; j=n-1;
283 for i=2:n-2
284     N=i+(j-1)*(n-1)+(k-1)*((n-1)^2);
285     Ah(N,N)=-6;
286     Ah(N,N+1)=1;
287     Ah(N,N-1)=1;
288     Ah(N,N-(n-1))=1;
289     Ah(N,N-(n-1)^2)=1;
290     F(N)=6*(h^2)-r2(x(i+1),y(j+1))-g2(x(i+1),z(k+1));
291 end
292 %26eme cas
293 i=1; k=n-1;
294 for j=2:n-2
295     N=i+(j-1)*(n-1)+(k-1)*((n-1)^2);
296     Ah(N,N)=-6;
297     Ah(N,N+1)=1;

```

```

298     Ah(N,N-(n-1))=1;
299     Ah(N,N+(n-1))=1;
300     Ah(N,N-(n-1)^2)=1;
301     F(N)=6*(h^2)-r2(x(i+1),y(j+1))-f1(y(j+1),z(k+1));
302 end
303 %27eme cas
304 i=n-1; k=n-1;
305 for j=2:n-2
306     N=i+(j-1)*(n-1)+(k-1)*((n-1)^2);
307     Ah(N,N)=-6;
308     Ah(N,N-1)=1;
309     Ah(N,N-(n-1))=1;
310     Ah(N,N+(n-1))=1;
311     Ah(N,N-(n-1)^2)=1;
312     F(N)=6*(h^2)-r2(x(i+1),y(j+1))-f2(y(j+1),z(k+1));
313 end
314 %Resolution
315 Y1 = Ah\'(F');
316 Y2 = reshape(Y1,n-1,n-1,n-1);
317 Yh = zeros(n-1,n-1,n-1);
318 for k=1:(n-1)
319     Yh(:, :, k) = (Y2(:, :, k))';
320 end
321 clear Y1 Y2
322 %Post-processeur
323 Ynum = zeros(n+1,n+1,n+1);
324 for k=2:n
325     for i=2:(length(y)-1)
326         for j=2:(length(x)-1)
327             Ynum(i,j,k)=Yh(i-1,j-1,k-1);
328         end
329     end
330     for j=1:length(x)
331         Ynum(1,j,k)=g1(x(j),z(k));
332         Ynum(n+1,j,k)=g2(x(j),z(k));
333     end
334     for i=2:(length(y)-1)
335         Ynum(i,1,k)=f1(y(i),z(k));
336         Ynum(i,n+1,k)=f2(y(i),z(k));
337     end
338 end
339 for i=1:length(y)
340     for j=1:length(x)
341         Ynum(i,j,1)=r1(x(j),y(i));
342         Ynum(i,j,n+1)=r2(x(j),y(i));
343     end
344 end
345 %validation
346 %Solution exacte
347 Yex = zeros(n+1,n+1,n+1);
348 for k=1:(n+1)
349     for i=1:(n+1)
350         for j=1:(n+1)
351             Yex(i,j,k) = x(j)^2+y(i)^2+z(k)^2;
352         end

```

```

353     end
354 end
355 %Graphe de la solution exacte et de la solution approchee
356 plan = round(n/2);
357 %c=figure(1);
358 subplot(1,2,1), mesh(x,y,Ynum(:,:,plan)), title('Solution approchee z=0.5')
359 subplot(1,2,2), mesh(x,y,Yex(:,:,plan)), title('Solution exacte z=0.5')
360 %saveas(c,'DF3D.eps','epsc');

```

## Condition aux limites pour $x=0$ , la fonction $f_1$ :

Code matlab

```

1 function z=f1(y,z)
2 z=y.^2+z.^2;

```

## Condition aux limites pour $x=1$ , la fonction $f_2$ :

Code matlab

```

1 function z=f2(y,z)
2 z=1+y.^2+z.^2;

```

## Condition aux limites pour $y=0$ , la fonction $g_1$ :

Code matlab

```

1 function z=g1(x,z)
2 z=x.^2+ z.^2;

```

## Condition aux limites pour $y=1$ , la fonction $g_2$ :

Code matlab

```

1 function z=g2(x,z)
2 z=1+x.^2+ z.^2;

```

## Condition aux limites pour $z=0$ , la fonction $r_1$ :

Code matlab

```

1 function z=r1(x,y)
2 z=x.^2+y.^2;

```

Condition aux limites pour  $z=1$ , la fonction  $r_2$  :

Code matlab

```
1 function z=r2(x,y)
2 z=1+x.^2+ y.^2;
```



### 4.3.2 Résultats graphiques

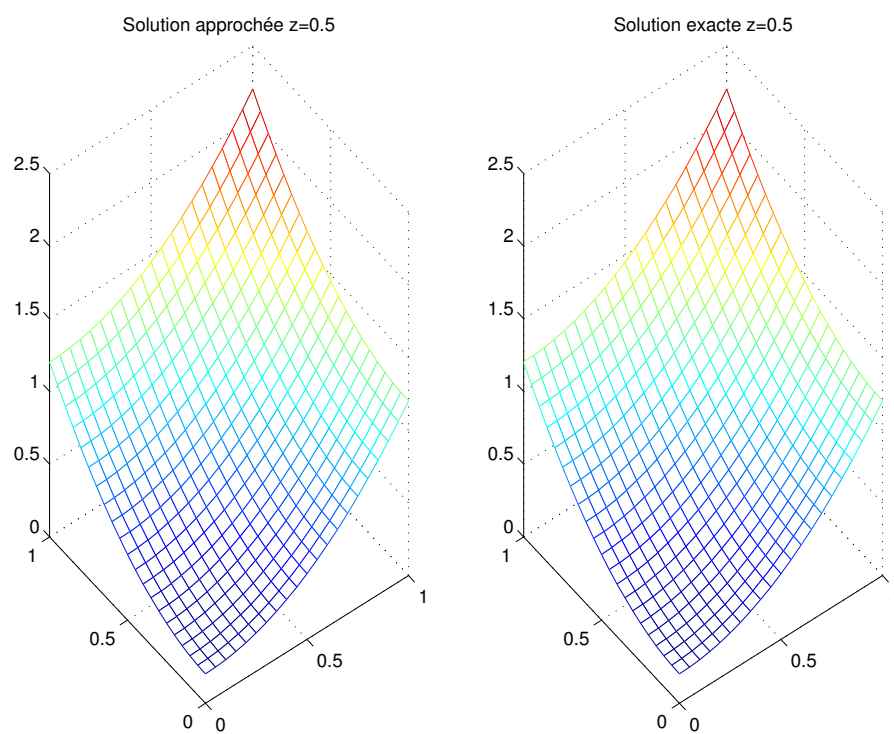


FIGURE 4.1 – Solutions obtenues

# Chapitre 5

## Résolution de l'équation de Laplace 2D par la méthode RBF

### 5.1 Généralités

Les fonctions de base radiale (RBF) sont une série de techniques d'interpolation exacte qui impliquent le passage de la surface par chaque valeur d'échantillon mesuré. Il existe cinq fonctions de base différentes :

- Spline de plaque fine
- Spline avec tension
- Spline entièrement régularisée
- Fonction multiquadratique
- Fonction multiquadratique inverse

Chaque fonction de base présente une forme différente et produit une surface d'interpolation différente. Les méthodes RBF représentent un cas particulier de splines.

Le concept des fonctions de base radiale revient à l'ajustement d'une membrane en caoutchouc à travers les valeurs d'échantillons mesurés tout en réduisant au maximum la courbure totale de la surface. La fonction de base sélectionnée vous permet de déterminer comment la membrane en caoutchouc va être ajustée entre les valeurs. Le diagramme suivant explique en théorie comment une surface RBF est ajustée en passant par une série de valeurs d'échantillons d'altitude.

En tant qu'interpolateurs exacts, les méthodes RBF diffèrent des interpolateurs polynomiaux globaux et locaux qui sont tous deux inexacts et n'exigent pas que la surface passe par les points mesurés.

On souhaite résoudre l'EDP suivante :

$$\begin{cases} \Delta u(x, y) = f(x, y) & (x, y) \in \Omega = ]0, 20[ \times ]0, 10[ \\ u_{/\partial\Omega} = g \end{cases}$$

Avec les conditions aux limites suivantes :

$$\begin{cases} u(0, y) = y^2 = f_1(y) \\ u(20, y) = 400 + y^2 = f_2(y) \\ u(x, 0) = x^2 = g_1(x) \\ u(x, 10) = x^2 + 100 = g_2(x) \end{cases}$$

## 5.2 Approximation de l'EDP :

Soient  $X_1, X_2, \dots, X_N$  des points intérieurs à  $\Omega$ .  
Et  $X_{N+1}, X_{N+2}, \dots, X_{N+n_f}$  des points sur  $\partial\Omega$ .

La solution du problème s'écrit de la manière suivante :

$$U(X) = \sum_{i=1}^{N+n_f} \alpha_i \varphi_i(X) \quad X = (x, y)$$

Avec  $\varphi_i(X)$  une fonction radiale de base qui s'écrit :

$$\begin{aligned} \varphi_i(X) &= \sqrt{\|X - X_i\|^2 + c^2} \\ &= \sqrt{(x - x_i)^2 + (y - y_i)^2 + c^2} \end{aligned}$$

Alors d'après l'équation aux dérivés partielle on obtient :

$$\text{pour } j = 1, \dots, N : \quad \Delta U(X_j) = \sum_{i=1}^{N+n_f} \alpha_i \Delta \varphi_i(X_j) = f(X_j)$$

$$\text{pour } j = N + 1, \dots, N + n_f : \quad U(X_j) = \sum_{i=1}^{N+n_f} \alpha_i \varphi_i(X_j) = g(X_j)$$

Donc on obtient le système linéaire suivant :

$$\begin{cases} \alpha_1 \Delta \varphi_1(X_1) + \alpha_2 \Delta \varphi_2(X_1) + \dots + \alpha_{N+n_f} \Delta \varphi_{N+n_f}(X_1) = f(X_1) \\ \vdots \\ \alpha_1 \Delta \varphi_1(X_N) + \alpha_2 \Delta \varphi_2(X_N) + \dots + \alpha_{N+n_f} \Delta \varphi_{N+n_f}(X_N) = f(X_N) \\ \alpha_1 \varphi_1(X_{N+1}) + \alpha_2 \varphi_2(X_{N+1}) + \dots + \alpha_{N+n_f} \varphi_{N+n_f}(X_{N+1}) = g(X_{N+1}) \\ \vdots \\ \alpha_1 \varphi_1(X_{N+n_f}) + \alpha_2 \varphi_2(X_{N+n_f}) + \dots + \alpha_{N+n_f} \varphi_{N+n_f}(X_{N+n_f}) = g(X_{N+n_f}) \end{cases}$$

Ce système s'écrit sous la forme matricielle :

$$A\alpha = F$$

que nous pouvons résoudre numériquement en inversant la matrice carré  $A$  :

$$\alpha = A^{-1}F$$

.

### Code matlab de $\varphi$

```
1 function z = phi(x,y,xi,yi,c)
2 z = sqrt((x-xi)^2+(y-yi)^2+c^2);
3 end
```

### Code matlab du laplacien de $\varphi$

```
1 function z = laplacien(x,y,xi,yi,c)
2 z = 2/phi(x,y,xi,yi,c) - ((x-xi)^2+(y-yi)^2)/(phi(x,y,xi,yi,c)^3);
3 end
```

## 5.3 Code Matlab

```
1 %Ce programme resoud une EDP 2eme ordre sur [A,B]x[C,D] en utilisant la RBF
2 %-----
3 clear
4 clc
5 %-----
6 %Input
7 A = 0;
8 B = 20;
9 C = 0;
10 D = 10;
11 c=100;
12 %Pre-processeur
13 nx = 20;
14 ny = 10;
15 h = (B-A)/nx;
16 x = A:h:B;
17 y = C:h:D;
18 %Schema numerique
19 Ah = zeros((nx+1)*(ny+1));
20 F = zeros(1,(nx+1)*(ny+1));
21 S = zeros((nx+1)*(ny+1),2);
22 k = 1;
23 %Remplissage de S par les sommets internes
24 for i=1:(nx-1)
25     for j=1:(ny-1)
26         S(k,1) = x(i+1);
27         S(k,2) = y(j+1);
```

```

28         k = k+1;
29     end
30 end
31 %Remplissage de S par les sommets du bord Gamma1
32 for i=1:(nx+1)
33     S(k,1) = x(i);
34     S(k,2) = y(1);
35     k = k+1;
36 end
37 %Remplissage de S par les sommets du bord Gamma2
38 for j=2:ny
39     S(k,1) = x(nx+1);
40     S(k,2) = y(j);
41     k = k+1;
42 end
43 %Remplissage de S par les sommets du bord Gamma3
44 for i=1:(nx+1)
45     S(k,1) = x(i);
46     S(k,2) = y(ny+1);
47     k = k+1;
48 end
49 %Remplissage de S par les sommets du bord Gamma4
50 for j=2:ny
51     S(k,1) = x(1);
52     S(k,2) = y(j);
53     k = k+1;
54 end
55
56 for i=1:(nx-1)*(ny-1)
57     for j=1:(nx+1)*(ny+1)
58         Ah(i,j) = laplacien(S(i,1),S(i,2),S(j,1),S(j,2),c);
59     end
60 end
61
62 for i=((nx-1)*(ny-1)+1):(nx+1)*(ny+1)
63     for j=1:(nx+1)*(ny+1)
64         Ah(i,j) = phi(S(i,1),S(i,2),S(j,1),S(j,2),c);
65     end
66 end
67
68 for i=1:(nx-1)*(ny-1)
69     F(i) = 4;
70 end
71
72 for i=((nx-1)*(ny-1)+1):(nx*ny-ny+2)
73     F(i) = S(i,1)^2;
74 end
75
76 for i=(nx*ny-ny+3):(nx*ny+1)
77     F(i) = 400+S(i,2)^2;
78 end
79
80 for i=(nx*ny+2):(nx*ny+nx+2)
81     F(i) = 100+S(i,1)^2;
82 end

```

```

83
84 for i=(nx*ny+nx+3):(nx+1)*(ny+1)
85     F(i) = S(i,2)^2;
86 end
87 alpha = Ah\'(F');
88 %Post-processeur
89 Sol = zeros(ny+1,nx+1);
90 for i=1:(ny+1)
91     for j=1:(nx+1)
92         for k=1:(nx+1)*(ny+1)
93             Sol(i,j) = Sol(i,j)+alpha(k)*phi(x(j),y(i),S(k,1),S(k,2),c);
94         end
95     end
96 end
97 %Validation
98 %Solution exacte
99 [X,Y]=meshgrid(x,y);
100 Yex=X.^2+Y.^2;
101 %Représentation graphique
102 subplot(1,2,1), mesh(x,y,Sol), title('Solution approchée')
103 subplot(1,2,2), mesh(x,y,Yex), title('Solution exacte')

```

## 5.4 Résultats graphiques

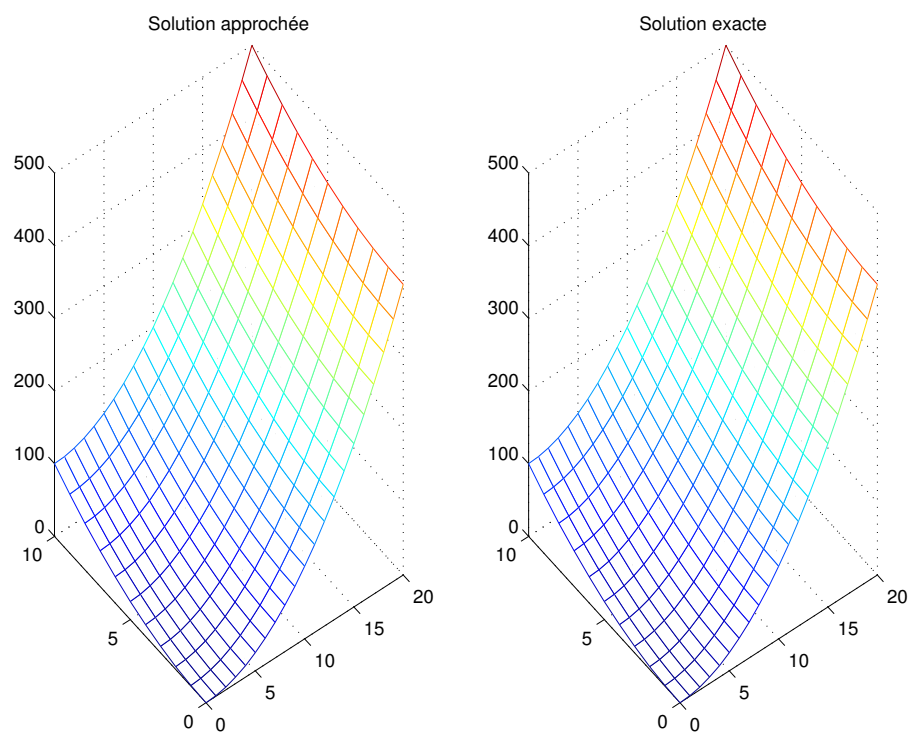


FIGURE 5.1 – Solutions obtenues

# Chapitre 6

## Conduction de chaleur par maillage structuré

### 6.1 Position du problème

On considère le problème modèle suivant (conduction de la chaleur) :

$$-div(\lambda_i \nabla u(x)) = f(x), \quad x \in \Omega_i, \quad i = 1, 2 \quad (6.1)$$

où  $\lambda_1 > 0$ ,  $\lambda_2 > 0$  sont les conductivités thermiques dans les domaines  $\Omega_1$  et  $\Omega_2$ , avec  $\Omega_1 = ]0, 1[ \times ]0, 1[$  et  $\Omega_2 = ]0, 1[ \times ]0, 2[$ . On appelle  $\Gamma_1 = ]0, 1[ \times \{0\}$ ,  $\Gamma_2 = \{1\} \times ]0, 2[$ ,  $\Gamma_3 = ]0, 1[ \times \{2\}$ ,  $\Gamma_4 = \{0\} \times ]0, 2[$  les frontières extérieures de  $\Omega$ , et on note  $I = ]0, 1[ \times \{1\}$  l'interface entre  $\Omega_1$  et  $\Omega_2$  (voir figure). Dans la suite on notera  $\lambda$  la conductivité thermique sur  $\Omega$ ,  $\lambda/\Omega_i = \lambda_i, i = 1, 2$

### 6.2 Maillage

On se donne un maillage admissible  $\mathbb{M}$  de  $\Omega$ ,  $\Omega = \bigcup_{K \in \mathbb{M}} K$  qu'on suppose uniforme. On suppose qu'on a  $n \times 2p$  mailles. On note  $h_x = \frac{1}{n}$  (resp.  $h_y = \frac{1}{p}$ ). Comme le maillage est cartésien, il est commode de numérotiser les mailles dans l'ordre lexicographique, c'est à dire que la  $k^{ieme}$  maille a comme centre le point  $x_{i,j} = (ih_x, jh_y)$  avec  $k = n(j-1) + i$ . On peut donc déterminer le numéro de la maille de l'inconnue associée  $k$  à partir de la numérotation cartésienne  $(i, j)$ .

On se donne ensuite des inconnues discrètes  $(u_K)_{K \in \mathbb{M}}$  associée aux mailles et  $(u_\sigma)_{\sigma \in \epsilon}$  associées aux arêtes.  $\epsilon$  est l'ensemble des arêtes.



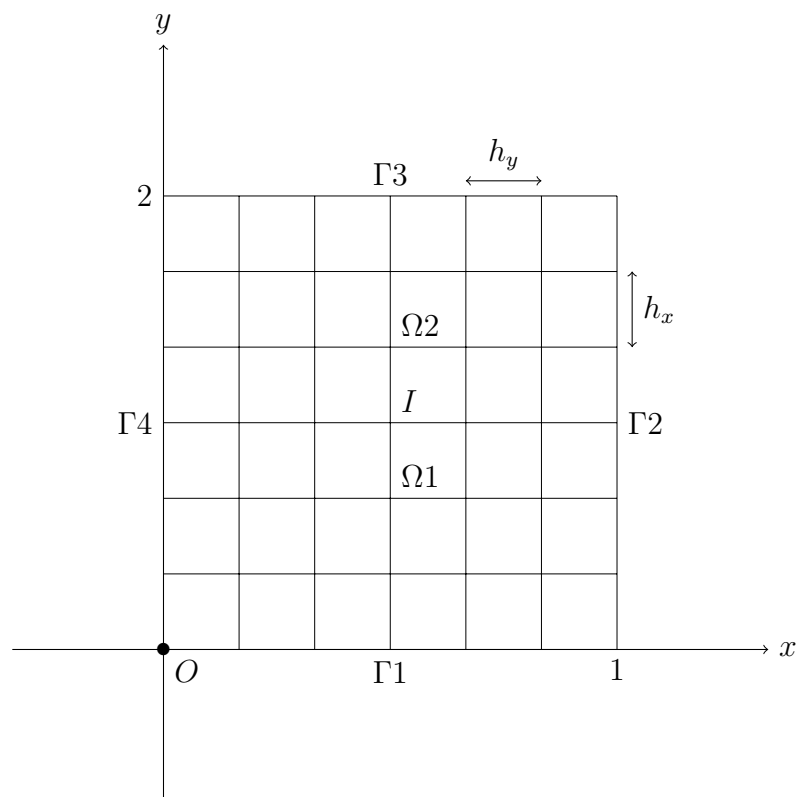


FIGURE 6.1 – Maillage du domaine  $[0, 1] \times [0, 2]$

## 6.3 Construction du schéma

Pour construire le schéma numérique, on intègre l'équation (1.1) sur un élément de volume  $K$  :

$$\begin{aligned} -\operatorname{div}(\lambda_i \nabla u(x)) &= f(x) \\ \iff -\int_K \operatorname{div}(\lambda_i \nabla u(x)) &= \int_K f(x) dx \\ \iff -\int_K \operatorname{div}(\lambda_i \nabla u(x)) &= m(K) \frac{1}{m(K)} \int_K f(x) dx \end{aligned}$$

**Rappel 6.3.1** (Important). *[Formule de Stokes] Soit  $\Omega \subset \mathbb{R}^2$  ou  $\mathbb{R}^3$  :*

$$\int_{\Omega} \operatorname{div}(\omega) = \int_{\partial\Omega} \omega \cdot \vec{n} d\sigma$$

On a :

$$\partial K = \bigcup_{\sigma \in \epsilon_K}$$

Et :

$$\sum_{\sigma \in \epsilon_K} \int_{\sigma} (\lambda_i \nabla u(x)) dx = \int_{\bigcup_{\sigma \in \epsilon_K} \sigma} n(x) ds$$

On a :

$$\begin{aligned} \nabla u(x) n(x) &\approx \frac{u_{\sigma} - u_k}{d_{K,\sigma}} \\ F_{k\sigma} &= \int_{\sigma} (\lambda_i \nabla u(x)) dx \\ \iff F_{k\sigma} &\approx \int_{\sigma} \lambda_i \frac{u_{\sigma} - u_k}{d_{K,\sigma}} ds \\ \iff F_{k\sigma} &\approx \lambda_i \frac{u_{\sigma} - u_k}{d_{K,\sigma}} \int_{\sigma} ds \\ \iff F_{k\sigma} &\approx \lambda_i \frac{u_{\sigma} - u_k}{d_{K,\sigma}} m(\sigma) \end{aligned}$$

$F_{K,\sigma}$  représente le flux numérique à travers l'arête  $\sigma$ . Finalement, on obtient le schéma numérique suivante :

$$\sum_{\sigma \in \epsilon_K} F_{K,\sigma} = m(K) f_K$$

## 6.4 Calcul des flux numériques

On considère l'élément de volume  $K$  délimité par les arêtes  $\partial K = \sigma_1 \cup \sigma_2 \cup \sigma_3 \cup \sigma_4$ . Nous allons exprimer dans ce paragraphe le flux numérique relatif à une arête  $\sigma$  quelconque. Le flux numérique total est la somme des flux partiels relatifs à chaque arête.

### 6.4.1 Flux interne : $\sigma$ est une arête interne

Soit  $\sigma = K/L$  où  $K, L \in \mathbb{M}$ . On a vu au paragraphe précédente que le flux numérique  $F_{K,\sigma}$  s'écrit :

$$F_{K,\sigma} = -\lambda_i \frac{u_\sigma - u_K}{d_{K,\sigma}} m(\sigma) \quad (6.2)$$

En utilisant la conservation du flux ( $F_{K,\sigma} = -F_{L,\sigma}$ ), on a :

$$-\lambda_i \frac{u_\sigma - u_K}{d_{K,\sigma}} m(\sigma) = \lambda_i \frac{u_\sigma - u_L}{d_{L,\sigma}} m(\sigma)$$

Alors :

$$u_\sigma \left( \frac{1}{d_{K,\sigma}} + \frac{1}{d_{L,\sigma}} \right) = \frac{u_K}{d_{K,\sigma}} + \frac{u_L}{d_{L,\sigma}}$$

On a donc :

$$u_\sigma = \frac{d_{K,\sigma} d_{L,\sigma}}{d_{K,L}} \left( \frac{u_K}{d_{K,\sigma}} + \frac{u_L}{d_{L,\sigma}} \right)$$

On remplaçons  $u_\sigma$  dans (1.1), on obtient :

$$F_{K,\sigma} = -\lambda_i \left( \frac{d_{L,\sigma}}{d_{K,L}} \left( \frac{u_K}{d_{K,\sigma}} + \frac{u_L}{d_{L,\sigma}} \right) - \frac{u_K}{d_{K,\sigma}} \right) m(\sigma)$$

Finalement :

$$F_{K,\sigma} = -\lambda_i \frac{m(\sigma)}{d_{K,L}} (u_K - u_L).$$

### 6.4.2 Flux au bord de $\Gamma_2$

Sur  $\Gamma_2$ , la condition au limite se traduit par l'équation suivante :

$$-\lambda_i \nabla u n = 0 \quad (6.3)$$

Par intégration de la condition (1.3), on a :

$$F_{K,\sigma} = 0.$$

### 6.4.3 Flux au bord de $\Gamma_4$

Sur  $\Gamma_4$ , la condition au limite se traduit par l'équation suivante :

$$u(x) = g(x) \quad (6.4)$$

Selon (1.4) on a :  $u_\sigma = g_\sigma$  qu'on va remplacer dans l'expression du flux numérique :

$$F_{K,\sigma} = -\lambda_i \frac{m(\sigma)}{d_{K,\sigma}} (g_\sigma - u_K)$$

où :

$$g_\sigma = \frac{1}{m(\sigma)} \int_\sigma g(y) dy$$

### 6.4.4 Flux au bord de $\Gamma_1 \cup \Gamma_3$

Sur  $\Gamma_1 \cup \Gamma_3$ , on a l'équation suivante :

$$-\lambda_i \nabla u n = \alpha (u_\sigma - u_{ext}) \quad (6.5)$$

Si on intègre l'équation (1.5) sur  $\sigma$ , on obtient :

$$F_{K,\sigma} = \alpha m(\sigma) (u_\sigma - u_{ext}) \quad (6.6)$$

Et par identification de (1.1) et (1.6) , on a :

$$-\lambda_i \frac{u_\sigma - u_K}{d_{K,\sigma}} = \alpha (u_\sigma - u_{ext})$$

Alors :

$$u_\sigma = \frac{\alpha d_{K,\sigma} u_{ext} + \lambda_i u_K}{\alpha d_{K,\sigma} + \lambda_i}$$

Finalement :

$$F_{K,\sigma} = \alpha m(\sigma) \left( \frac{\alpha d_{K,\sigma} u_{ext} + \lambda_i u_K}{\alpha d_{K,\sigma} + \lambda_i} - u_{ext} \right)$$

$$F_{K,\sigma} = \frac{\alpha m(\sigma) \lambda_i}{\alpha d_{K,\sigma} + \lambda_i} (u_K - u_{ext})$$

### 6.4.5 Flux sur l'interface I

$K \in \Omega_1$  et  $L \in \Omega_2$

Sur l'interface  $I$ , on a un saut de flux de chaleur. Cette condition de saut se traduit par l'équation suivante :

$$-\lambda_1 \nabla u_1(x) n_1(x) - \lambda_2 \nabla u_2(x) n_2(x) = \Theta(x) \quad \forall x \in I \quad (6.7)$$

On intègre sur  $\sigma$ , on obtient :

$$\int_{\sigma} \nabla u_1(x) n_1(x) dx - \int_{\sigma} \nabla u_2(x) n_2(x) dx = \int_{\sigma} \Theta(x) dx$$

Ce qui donne :

$$F_{K,\sigma} + F_{L,\sigma} = m(\sigma) \Theta_{\sigma}$$

$$\text{Avec : } \Theta_{\sigma} = \frac{1}{m(\sigma)} \int_{\sigma} \Theta(x) dx$$

En remplaçant le flux numérique par son expression :

$$-\lambda_1 \frac{u_{\sigma} - u_K}{d_{K,\sigma}} m(\sigma) - \lambda_2 \frac{u_{\sigma} - u_L}{d_{L,\sigma}} m(\sigma) = m(\sigma) \Theta_{\sigma}$$

On en déduit l'expression de  $u_{\sigma}$  :

$$u_{\sigma} = \frac{\lambda_1 d_{L,\sigma} u_K + \lambda_2 d_{K,\sigma} u_L - d_{K,\sigma} d_{L,\sigma} \Theta_{\sigma}}{\lambda_1 d_{L,\sigma} + \lambda_2 d_{K,\sigma}}$$

Qu'on remplace dans le flux numérique :

$$F_{K,\sigma} = -\lambda_1 m(\sigma) \frac{\frac{\lambda_1 d_{L,\sigma} u_K + \lambda_2 d_{K,\sigma} u_L - d_{K,\sigma} d_{L,\sigma} \Theta_{\sigma}}{\lambda_1 d_{L,\sigma} + \lambda_2 d_{K,\sigma}} - u_K}{d_{K,\sigma}}$$

En simplifiant, on obtient :

$$F_{K,\sigma} = \frac{\lambda_1 m(\sigma)}{\lambda_1 d_{L,\sigma} + \lambda_2 d_{K,\sigma}} (\lambda_2 (u_K - u_L) + d_{L,\sigma} \Theta_{\sigma})$$

$K \in \Omega_2$  et  $L \in \Omega_1$

Par le même raisonnement :

$$F_{K,\sigma} = \frac{\lambda_2 m(\sigma)}{\lambda_1 d_{K,\sigma} + \lambda_2 d_{L,\sigma}} (\lambda_1 (u_K - u_L) + d_{L,\sigma} \Theta_{\sigma})$$

## 6.5 Calcul numérique

### 6.5.1 Principe

On veut écrire le système linéaire  $AU = b$  que satisfait les inconnues  $U = (u_K)_{K \in \mathbb{M}}$ . On remarque que  $\forall K \in \mathbb{M}, m(K) = h_x h_y$ , pour toute arête intérieure verticale  $\sigma$  :  $d_{\sigma} = h_x$ ,  $m(\sigma) = h_y$  et pour tout arête horizontale :  $d_{\sigma} = h_y$ ,  $m(\sigma) = h_x$ . Pour chaque numéro de maille, nous allons maintenant construire l'équation correspondante.

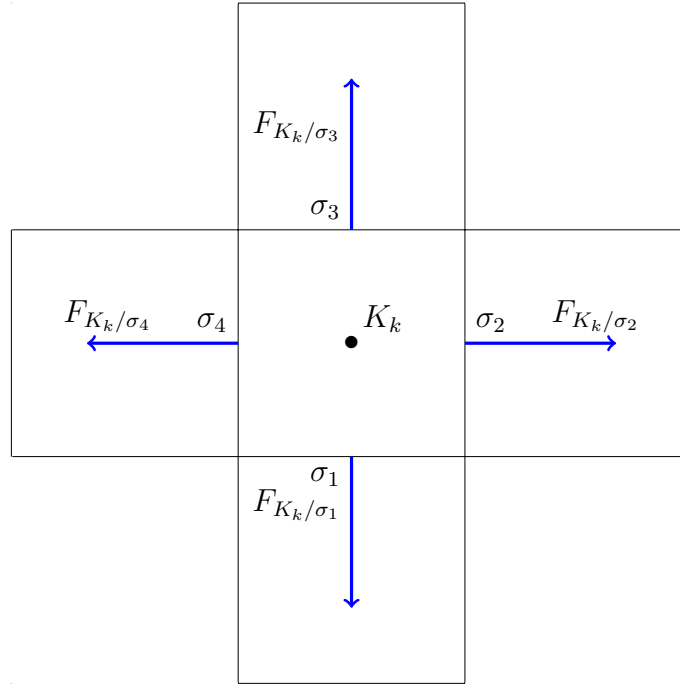


FIGURE 6.2 – Flux sur les arrêtes d’une maille

**Exemple 6.5.1.** *Exemple[Mailles internes]*

$$i = 2, \dots, n - 1$$

$$j = 2, \dots, n - 1$$

$$k = i + (j - 1)n$$

$$F_{K_k \sigma_1} + F_{K_k \sigma_2} + F_{K_k \sigma_3} + F_{K_k \sigma_4} = m(K)f_K$$

$$\Longleftrightarrow F_{K_k \sigma_1} = \lambda_i \frac{h_x}{h_y} (U_k - U_{k-n})$$

$$F_{K_k \sigma_2} = \lambda_i \frac{h_y}{h_x} (U_k - U_{k+1})$$

$$F_{K_k \sigma_3} = \lambda_i \frac{h_x}{h_y} (U_k - U_{k+n})$$

$$F_{K_k \sigma_4} = \lambda_i \frac{h_y}{h_x} (U_k - U_{k-1})$$

Cela implique :

$$A_k(k, k) = 2\lambda_i \left( \frac{h_x}{h_y} + \frac{h_y}{h_x} \right);$$

$$A_k(k, k-1) = -\lambda_i \frac{h_y}{h_x};$$

$$A_k(k, k+1) = -\lambda_i \frac{h_y}{h_x};$$

$$A_k(k, k-n) = -\lambda_i \frac{h_x}{h_y};$$

$$A_k(k, k+n) = -\lambda_i \frac{h_x}{h_y};$$

$$F_h(k) = h_x h_y f_k$$

## 6.5.2 Code Matlab

```

1 %Ce programme resoud une EDP 2eme ordre sur  $[A, B] \times [C, D]$  en utilisant la MVF
2
3 clear
4 clc
5
6 %Input
7 A = 0;
8 B = 1;
9 C = 0;
10 D = 2;
11 %Pre-processeur
12 n = 20;
13 p = 20;
14 hx = (B-A)/n;
15 hy = (D-C)/(2*p);
16 x = A:hx:B;
17 y = C:hy:D;
18 lamda1 = 2;
19 lamda2 = 1;
20 alpha = 1;
21 f1 = @(y) -lamda1*(y+2);
22 f2 = @(y) -lamda2*(y+2);
23 g = @(y) y.^2;
24 uext1 = @(x) -(x.^2)+2*x;
25 uext2 = @(x) 3*((x.^2)/2-x)+8;
26 teta = @(x) -((x.^2)/2-x+2);
27 %Schema numerique
28 Ah = zeros(2*n*p);
29 F = zeros(1,2*n*p);
30 %Aretes internes
31 for i=2:n-1
32     for j=2:p-1

```

```

33     k=i+(j-1)*(n);
34     Ah(k,k)=lamda1*((2*hx)/hy+(2*hy)/hx);
35     Ah(k,k-1)=-lamda1*(hy/hx);
36     Ah(k,k+1)=-lamda1*(hy/hx);
37     Ah(k,k-n)=-lamda1*(hx/hy);
38     Ah(k,k+n)=-lamda1*(hx/hy);
39     F(k)=hx*integral(f1,y(j),y(j+1));
40     end
41 end
42
43 for i=2:n-1
44     for j=p+2:2*p-1
45         k=i+(j-1)*(n);
46         Ah(k,k)=lamda2*((2*hx)/hy+(2*hy)/hx);
47         Ah(k,k-1)=-lamda2*(hy/hx);
48         Ah(k,k+1)=-lamda2*(hy/hx);
49         Ah(k,k-n)=-lamda2*(hx/hy);
50         Ah(k,k+n)=-lamda2*(hx/hy);
51         F(k)=hx*integral(f2,y(j),y(j+1));
52     end
53 end
54 %Cas Gamma2
55 i=n;
56 for j=2:p-1
57     k=i+(j-1)*(n);
58     Ah(k,k)=lamda1*((2*hx)/hy+(hy)/hx);
59     Ah(k,k-1)=-lamda1*(hy/hx);
60     Ah(k,k-n)=-lamda1*(hx/hy);
61     Ah(k,k+n)=-lamda1*(hx/hy);
62     F(k)=hx*integral(f1,y(j),y(j+1));
63 end
64
65 for j=p+2:2*p-1
66     k=i+(j-1)*(n);
67     Ah(k,k)=lamda2*((2*hx)/hy+(hy)/hx);
68     Ah(k,k-1)=-lamda2*(hy/hx);
69     Ah(k,k-n)=-lamda2*(hx/hy);
70     Ah(k,k+n)=-lamda2*(hx/hy);
71     F(k)=hx*integral(f2,y(j),y(j+1));
72 end
73 %Cas Gamma 4
74 i=1;
75 for j=2:p-1
76     k=i+(j-1)*(n);
77     Ah(k,k)=lamda1*((2*hx)/hy+(3*hy)/hx);
78     Ah(k,k+1)=-lamda1*(hy/hx);
79     Ah(k,k-n)=-lamda1*(hx/hy);
80     Ah(k,k+n)=-lamda1*(hx/hy);
81     F(k)=hx*integral(f1,y(j),y(j+1))+2*lamda1*(((1/hy)*integral(g,y(j),y(j+1))))*hy/hx);
82 end
83
84 for j=p+2:2*p-1
85     k=i+(j-1)*(n);
86     Ah(k,k)=lamda2*((2*hx)/hy+(3*hy)/hx);
87     Ah(k,k+1)=-lamda2*(hy/hx);

```



```

88     Ah(k,k-n)=-lamda2*(hx/hy);
89     Ah(k,k+n)=-lamda2*(hx/hy);
90     F(k)=hx*integral(f2,y(j),y(j+1))+2*lamda2*(((1/hy)*integral(g,y(j),y(j+1))))*hy/hx);
91 end
92 %Cas Gamma1 union Gamma3
93 j=1;
94 for i=2:n-1
95     k=i+(j-1)*(n);
96     Ah(k,k)=lamda1*((hx)/hy+(2*hy)/hx)+
97     ((alpha*lamda1*hx)/(lamda1+alpha*(hy/2)));
98     Ah(k,k-1)=-lamda1*(hy/hx);
99     Ah(k,k+1)=-lamda1*(hy/hx);
100    Ah(k,k+n)=-lamda1*(hx/hy);
101    F(k)=hx*integral(f1,y(j),y(j+1))+
102    ((alpha*lamda1*hx)/(lamda1+alpha*(hy/2)))
103    *uext1(x(i));
104 end
105 j=2*p;
106 for i=2:n-1
107     k=i+(j-1)*(n);
108     Ah(k,k)=lamda2*((hx)/hy+(2*hy)/hx)+
109     ((alpha*lamda2*hx)/(lamda2+alpha*(hy/2)));
110     Ah(k,k-1)=-lamda2*(hy/hx);
111     Ah(k,k+1)=-lamda2*(hy/hx);
112     Ah(k,k-n)=-lamda2*(hx/hy);
113     F(k)=hx*integral(f2,y(j),y(j+1))+
114     ((alpha*lamda2*hx)/(lamda2+alpha*(hy/2)))
115     *uext2(x(i));
116 end
117 %Mailles des coins exterieurs
118 %Coin Sud-Ouest
119 i=1;
120 j=1;
121 k=i+(j-1)*(n);
122 Ah(k,k)=lamda1*((hx)/hy+(3*hy)/hx)+
123 ((alpha*lamda1*hx)/(lamda1+alpha*(hy/2)));
124 Ah(k,k+1)=-lamda1*(hy/hx);
125 Ah(k,k+n)=-lamda1*(hx/hy);
126 F(k)=hx*integral(f1,y(j),y(j+1))+
127 ((alpha*lamda1*hx)/(lamda1+alpha*(hy/2)))
128 *uext1(x(i))+2*lamda1*(((1/hy)*
129 integral(g,y(j),y(j+1))))*hy/hx);
130 %Coin Sud Est
131 i=n;
132 j=1;
133 k=i+(j-1)*(n);
134 Ah(k,k)=lamda1*((hx)/hy+(hy)/hx)+
135 ((alpha*lamda1*hx)/(lamda1+alpha*(hy/2)));
136 Ah(k,k-1)=-lamda1*(hy/hx);
137 Ah(k,k+n)=-lamda1*(hx/hy);
138 F(k)=hx*integral(f1,y(j),y(j+1))+
139 ((alpha*lamda1*hx)/(lamda1+alpha*(hy/2)))
140 *uext1(x(i));
141 %Coin Nord Ouest
142 i=1;

```

```

143 j=2*p;
144 k=i+(j-1)*(n);
145 Ah(k,k)=lamda2*((hx)/hy+(3*hy)/hx)+
146 ((alpha*lamda2*hx)/(lamda2+alpha*(hy/2)));
147 Ah(k,k+1)=-lamda2*(hy/hx);
148 Ah(k,k-n)=-lamda2*(hx/hy);
149 F(k)=hx*integral(f2,y(j),y(j+1))+
150 ((alpha*lamda2*hx)/(lamda2+alpha*(hy/2)))
151 *uext2(x(i))+2*lamda2*(((1/hy)
152 *integral(g,y(j),y(j+1)))*hy/hx);
153 %Coin Nord Est
154 i=n;
155 j=2*p;
156 k=i+(j-1)*(n);
157 Ah(k,k)=lamda2*((hx)/hy+(hy)/hx)+
158 ((alpha*lamda2*hx)/(lamda2+alpha*(hy/2)));
159 Ah(k,k-1)=-lamda2*(hy/hx);
160 Ah(k,k-n)=-lamda2*(hx/hy);
161 F(k)=hx*integral(f2,y(j),y(j+1))+
162 ((alpha*lamda2*hx)/(lamda2+alpha*(hy/2)))
163 *uext2(x(i));
164 %Interface I (Coins exclus)
165 j=p;
166 for i=2:n-1
167     k=i+(j-1)*(n);
168     Ah(k,k)=lamda1*((hx)/hy+(2*hy)/hx)+
169     (2*(lamda1*lamda2*hx)/(hy*(lamda1+lamda2)));
170     Ah(k,k-1)=-lamda1*(hy/hx);
171     Ah(k,k+1)=-lamda1*(hy/hx);
172     Ah(k,k-n)=-lamda1*(hx/hy);
173     Ah(k,k+n)=-(2*(lamda1*lamda2*hx)/
174     (hy*(lamda1+lamda2)));
175     F(k)=hx*integral(f1,y(j),y(j+1))-\\
176     ((lamda1*hx)/((lamda1+lamda2)))*\\
177     (1/hx)*integral(teta,x(i),x(i+1));\\
178 end
179
180 j=p+1;
181 for i=2:n-1
182     k=i+(j-1)*(n);
183     Ah(k,k)=lamda2*((hx)/hy+(2*hy)/hx)+
184     (2*(lamda1*lamda2*hx)/(hy*(lamda1+lamda2)));
185     Ah(k,k-1)=-lamda2*(hy/hx);
186     Ah(k,k+1)=-lamda2*(hy/hx);
187     Ah(k,k-n)=-(2*(lamda1*lamda2*hx)/
188     (hy*(lamda1+lamda2)));
189     Ah(k,k+n)=-lamda2*(hx/hy);
190     F(k)=hx*integral(f2,y(j),y(j+1))-
191     ((lamda2*hx)/((lamda1+lamda2)))*(1/hx)*
192     integral(teta,x(i),x(i+1));
193 end
194 %Interface I les coins
195 j=p;
196 i=1;
197 k=i+(j-1)*(n);

```

```

198 Ah(k,k)=lamda1*((hx)/hy+(3*hy)/hx)+(2*
199 (lamda1*lamda2*hx)/(hy*(lamda1+lamda2)));
200 Ah(k,k+1)=-lamda1*(hy/hx);
201 Ah(k,k-n)=-lamda1*(hx/hy);
202 Ah(k,k+n)=-(2*(lamda1*lamda2*hx)/
203 (hy*(lamda1+lamda2)));
204 F(k)=hx*integral(f1,y(j),y(j+1))-
205 ((lamda1*hx)/((lamda1+lamda2)))*
206 (1/hx)*integral(teta,x(i),x(i+1))+2*lamda1*(1/hy)*integral(g,y(j),y(j+1))*(hy/hx);
207
208 j=p+1;
209 i=1;
210 k=i+(j-1)*(n);
211 Ah(k,k)=lamda2*((hx)/hy+(3*hy)/hx)+
212 (2*(lamda1*lamda2*hx)/(hy*(lamda1+lamda2)));
213 Ah(k,k+1)=-lamda2*(hy/hx);
214 Ah(k,k-n)=-(2*(lamda1*lamda2*hx)/(hy*(lamda1+lamda2)));
215 Ah(k,k+n)=-lamda2*(hx/hy);
216 F(k)=hx*integral(f2,y(j),y(j+1))-((lamda2*hx)/((lamda1+lamda2)))*(1/hx)*integral(teta,x(i),x(
217
218 j=p;
219 i=n;
220 k=i+(j-1)*(n);
221 Ah(k,k)=lamda1*((hx)/hy+(hy)/hx)+
222 (2*(lamda1*lamda2*hx)/(hy*(lamda1+lamda2)));
223 Ah(k,k-1)=-lamda1*(hy/hx);
224 Ah(k,k-n)=-lamda1*(hx/hy);
225 Ah(k,k+n)=-(2*(lamda1*lamda2*hx)/
226 (hy*(lamda1+lamda2)));
227 F(k)=hx*integral(f1,y(j),y(j+1))-
228 ((lamda1*hx)/((lamda1+lamda2)))*
229 (1/hx)*integral(teta,x(i),x(i+1));
230
231 j=p+1;
232 i=n;
233 k=i+(j-1)*(n);
234 Ah(k,k)=lamda2*((hx)/hy+(hy)/hx)+
235 (2*(lamda1*lamda2*hx)/(hy*(lamda1+lamda2)));
236 Ah(k,k-1)=-lamda2*(hy/hx);
237 Ah(k,k-n)=-(2*(lamda1*lamda2*hx)/
238 (hy*(lamda1+lamda2)));
239 Ah(k,k+n)=-lamda2*(hx/hy);
240 F(k)=hx*integral(f2,y(j),y(j+1))\
241 -((lamda2*hx)/((lamda1+lamda2)))\
242 *(1/hx)*integral(teta,x(i),x(i+1));
243 %Resolution
244 Yh=Ah\('F');
245 %Post-processeur
246 Ynum=zeros(2*p+1,n+1);
247 for j=1:(2*p-1);
248     for i=1:n-1
249         k=i+(j-1)*n;
250         Ynum(j+1,i+1)=
251 (Yh(k)+Yh(k+1)+Yh(k+n)+Yh(k+n+1))/4;
252

```

```

253     end
254 end
255 %Le bord Gamma1
256 j=1;
257 for i=2:n
258     k=i;
259     Ynum(j,i)=(Yh(k)+Yh(k-1))/2;
260 end
261 Ynum(1,1)=Yh(1);
262 Ynum(1,n+1)=Yh(n);
263 %Le bord Gamma2
264 i=n+1;
265 for j=2:2*p
266     k=(j-1)*n;
267     Ynum(j,i)=(Yh(k)+Yh(k+n))/2;
268 end
269 Ynum(2*p+1,n+1)=Yh(2*n*p);
270 %Le bord Gamma3
271 j=2*p+1;
272 for i=2:n
273     k=(i-1)+(2*p-1)*n;
274     Ynum(j,i)=(Yh(k)+Yh(k+1))/2;
275 end
276 %Le bord Gamma4
277 i=1;
278 for j=2:2*p
279     k=i+(j-1)*n;
280     Ynum(j,i)=(Yh(k)+Yh(k-n))/2;
281 end
282 Ynum(2*p+1,1)=g(y(2*p+1));
283 %Validation
284 %Solution exacte
285 [X,Y] = meshgrid(x,y);
286 Z = Y.*((X.^2)/2-X)+Y.^2;
287 subplot(1,2,1), mesh(x,y,Ynum),
288 title('Solution approchee')
289 subplot(1,2,2), mesh(x,y,Z),
290 title('Solution exacte')

```

### 6.5.3 Résultats graphiques

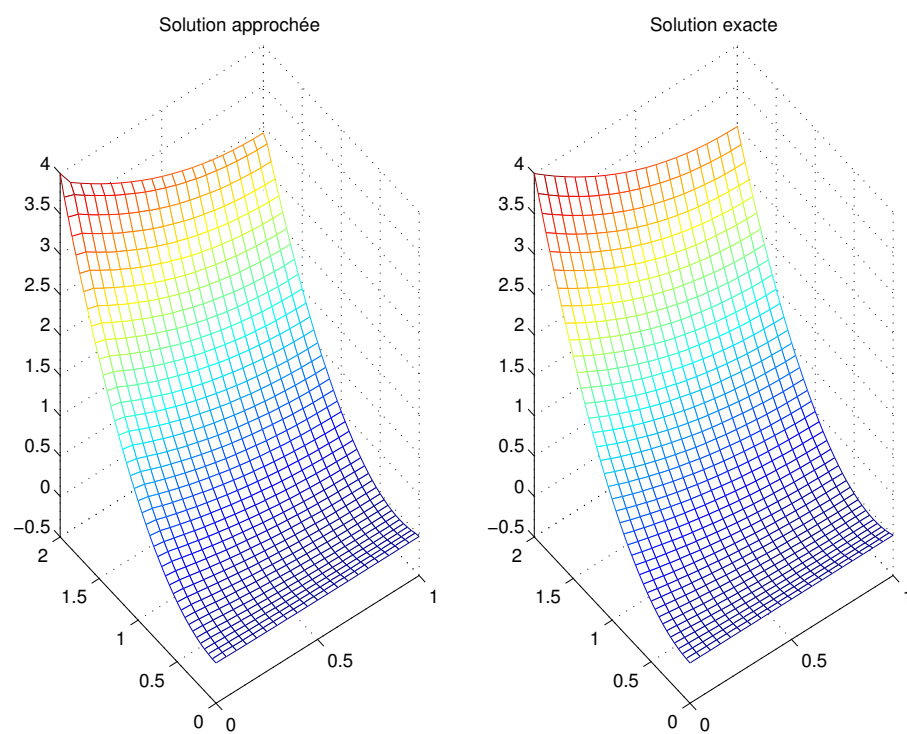


FIGURE 6.3 – Solutions obtenues

# Chapitre 7

## Conduction de chaleur par maillage non structuré

En 2D, c'est un maillage dont les éléments sont des triangles ou des quadrilatères assemblés de manière quelconque. La topologie est complètement arbitraire. Pour une géométrie élémentaire donnée, il est possible de considérer différents nombres de noeuds par élément. Par exemple, on peut considérer l'élément triangle :

\* trois noeuds : T3 (ordre 1), \* six noeuds : T6 (ordre 2), \* ...

En 3D, si l'on considère des éléments d'ordre 1, il s'agit de tétraèdres, de prismes, d'hexaèdres et de pyramides. (+) (-)

\* Création de maillages triangulaires ou tétraédriques dans des géométries quelconques et complexes. \* Economie de points par rapport aux maillages structurés notamment dans les zones de raffinement. \* Possibilités d'associer différentes topologie d'éléments.

\* Difficultés pour contrôler la densité des points dans une zone précise. \* Contrainte de stockage (tableau de connectivités des éléments). \* Plus longs à générer.

Ces maillages sont essentiellement utilisés par la méthode des éléments finis et parfois en volumes finis 'non-structurés'.

### 7.1 Maillage

Nous allons utiliser un maillage non-structuré triangulaire  $M$  avec  $\Omega = \bigcup_{K \in M} K$ . Nous allons utiliser le mailleur fourni pour générer le maillage du domaine  $\Omega$  tout en forçant des points fixes tout au long de l'interface  $I$ . Les points fixes seront donc une discrétisation du segment  $[0, 1] \times 1$  avec un pas qui doit être inférieur au pas du maillage afin que le mailleur ne génère aucun point trop proche du segment :

On remarque que du fait que le pas des points fixes soit inférieur au pas du maillage assure qu'aucune maille ne traverse l'interface  $I$ . Nous avons donc deux domaines distincts  $\Omega_1$  et  $\Omega_2$ . De plus, pour un triangle donné  $K$ , il est possible

de déterminer à quel domaine il appartient : il suffit de comparer le minimum des ordonnées de ses sommets avec la valeur 1. Si il est strictement inférieur alors  $K \in \Omega_1$ , sinon  $K \in \Omega_2$ .

## Connectivité

La connectivité, encore appelée table des connectivités, définit la 'connexion' entre les numéros des noeuds d'un maillage sous forme d'une liste d'éléments. Un élément se voit alors défini par la liste des numéros des noeuds qui le composent.

Quelques remarques :

- \* un meme sens de lecture est établi pour permettre un calcul des surfaces au moyen d'un produit vectoriel et obtenir ainsi des surfaces positives (composantes selon 'Z' du produit vectoriel) ;
- \* une permutation dans l'ordre de lecture des noeuds d'un élément n'a aucune influence sur le déroulement ultérieur du calcul.

## 7.2 Construction du schéma

Le schéma se construit par la même méthode : On intègre l'équation (1.1) sur un élément de volume  $K$  :

$$\int_K -div(\lambda_m \nabla u(x)) = \int_K f(x) dx$$

$$-\lambda_m \int_K div(\nabla u(x)) = \int_K f(x) dx$$

En appliquant le théorème de flux-divergence :

$$-\lambda_m \int_{\partial K} \nabla u(x) n(x) = \int_K f(x) dx$$

Sur une arête  $\sigma \in K$ ,  $n(x)$  reste constante  $n(x) = n_\sigma$ . Soit :

$$-\lambda_m \sum_{\sigma \in \epsilon_K} \int_{\sigma} \nabla u(x) n_\sigma(x) = \int_K f(x) dx$$

En considérant l'approximation  $\nabla u(x) n_\sigma(x) \approx \frac{u_\sigma - u_K}{d_{K,\sigma}}$  et en posant  $f_K$  la moyenne de  $f$  sur  $K$ , on a :

$$-\lambda_m \sum_{\sigma \in \epsilon_K} \int_{\sigma} \frac{u_\sigma - u_K}{d_{K,\sigma}} = mes(K) f_K$$

$$\sum_{\sigma \in \epsilon_K} -\lambda_m mes(\sigma) \frac{u_\sigma - u_K}{d_{K,\sigma}} = mes(K) f_K$$

## 7.3 Calcul des flux numériques

On considère l'élément de volume  $K$  délimité par les arêtes  $\partial K = \sigma_1 \cup \sigma_2 \cup \sigma_3$ . Le raisonnement étant symétrique, nous allons exprimer le flux numérique relatif à une arête  $\sigma$  quelconque. Le flux numérique total étant la somme des flux partiels relatifs à chaque arête.

### 7.3.1 Flux interne : $\sigma$ est une arête interne

Le raisonnement reste similaire que celui expliqué dans le cas d'un maillage structuré :

$$F_{K_k, \sigma} = -\lambda_m \text{mes}(\sigma) \frac{u_{K_l} - u_{K_k}}{d_{k,l}}$$

avec  $u_{K_l}$  et  $u_{K_k}$  sont respectivement les valeurs de  $u$  au barycentre des mailles  $K_k$  et  $K_l$  et  $d_{k,l}$  la distance entre ces deux barycentres.

### 7.3.2 Flux au bord de $\sigma \subset \Gamma_1 \cup \Gamma_3$

Si  $\sigma \subset \Gamma_1 \cup \Gamma_3$ , on a l'équation suivante :

$$-\lambda_m \vec{\nabla} u \cdot \vec{n}_\sigma = \alpha(u - u_{ext})$$

soit :

$$\begin{aligned} F_{K_k, \sigma} &= \int_\sigma -\lambda_m \vec{\nabla} u \cdot \vec{n}_\sigma \\ &= \alpha \left( \int_\sigma -\lambda_m u - \text{mes}(\sigma) u_{ext} \right) \\ &= \alpha (\text{mes}(\sigma) u_\sigma - \text{mes}(\sigma) u_{ext}) \\ &= \alpha \text{mes}(\sigma) (u_\sigma - u_{ext}) \end{aligned}$$

De plus on sait que :

$$F_{K_k, \sigma} = -\lambda_m \text{mes}(\sigma) \frac{u_{K_l} - u_{K_k}}{d_{K_k, \sigma}}$$

Par identification :

$$-\lambda_m \frac{u_{K_l} - u_{K_k}}{d_{k,l}} = \alpha(u - u_{ext})$$

Soit :

$$\left( \alpha + \frac{\lambda_m}{d_{K_k, \sigma}} \right) u_\sigma = \alpha u_{ext} + \frac{\lambda_m}{d_{K_k, \sigma}} u_{K_k}$$



$$u_\sigma = \frac{\alpha d_{K_k, \sigma} u_{ext} + \lambda_m u_{K_k}}{\alpha d_{K_k, \sigma} + \lambda_m}$$

Finalement :

$$F_{K_k, \sigma} = \alpha \text{mes}(\sigma) \left( \frac{\alpha d_{K_k, \sigma} u_{ext} + \lambda_m u_{K_k}}{\alpha d_{K_k, \sigma} + \lambda_m} - u_{ext} \right)$$

$$F_{K_k, \sigma} = \frac{\alpha \text{mes}(\sigma) \lambda_m}{\alpha d_{K_k, \sigma} + \lambda_m} (u_{K_k} - u_{ext})$$

### 7.3.3 Flux au bord de $\sigma \subset \Gamma_2$

Par intégration de l'équation qui modélise  $\sigma \subset \Gamma_2$ , on a :

$$F_{K_k, \sigma} = 0$$

### 7.3.4 Flux au bord de $\sigma \subset \Gamma_4$

On a la CL si  $\sigma \subset \Gamma_4$  :  $u_\sigma = g_\sigma$  qu'on remplace dans l'expression du flux numérique :

### 7.3.5 Flux sur l'interface I

$\sigma$  représente la frontière entre  $K_k$  et  $K_l$ . On a deux cas :

$K_k \in \Omega_1$  et  $L_l \in \Omega_2$

Sur l'interface  $I$ , on a un saut de flux de chaleur. Cette condition de saut se traduit par l'équation suivante :

$$-\lambda_1 \nabla u_1(x) n_1(x) - \lambda_2 \nabla u_2(x) n_2(x) = \Theta(x) \quad \forall x \in I$$

On intègre sur  $\sigma$ , on obtient :

$$\int_\sigma \nabla u_1(x) n_1(x) dx - \int_\sigma \nabla u_2(x) n_2(x) dx = \int_\sigma \Theta(x) dx$$

Ce qui donne :

$$F_{K_k, \sigma} + F_{K_l, \sigma} = \text{mes}(\sigma) \Theta_\sigma$$

$$\text{Avec : } \Theta_\sigma = \frac{1}{\text{mes}(\sigma)} \int_\sigma \Theta(x) dx$$

En remplaçant le flux numérique par son expression :

$$-\lambda_1 \frac{u_\sigma - u_{K_k}}{d_{K_k,\sigma}} mes(\sigma) - \lambda_2 \frac{u_\sigma - u_{K_l}}{d_{K_l,\sigma}} mes(\sigma) = mes(\sigma) \Theta_\sigma$$

On en déduit l'expression de  $u_\sigma$  :

$$u_\sigma = \frac{\lambda_1 d_{K_l,\sigma} u_{K_k} + \lambda_2 d_{K_k,\sigma} u_{K_l} - d_{K_k,\sigma} d_{K_l,\sigma} \Theta_\sigma}{\lambda_1 d_{K_l,\sigma} + \lambda_2 d_{K_k,\sigma}}$$

Qu'on remplace dans le flux numérique :

$$F_{K_k,\sigma} = -\lambda_1 mes(\sigma) \frac{\frac{\lambda_1 d_{K_l,\sigma} u_{K_k} + \lambda_2 d_{K_k,\sigma} u_{K_l} - d_{K_k,\sigma} d_{K_l,\sigma} \Theta_\sigma}{\lambda_1 d_{K_l,\sigma} + \lambda_2 d_{K_k,\sigma}} - u_{K_k}}{d_{K_k,\sigma}}$$

En simplifiant, on obtient :

$$F_{K_k,\sigma} = \frac{\lambda_1 mes(\sigma)}{\lambda_1 d_{K_l,\sigma} + \lambda_2 d_{K_k,\sigma}} (\lambda_2 (u_{K_k} - u_{K_l}) + d_{K_l,\sigma} \Theta_\sigma)$$

$K_k \in \Omega_2$  et  $K_l \in \Omega_1$

Par le même raisonnement :

$$F_{K_k,\sigma} = \frac{\lambda_2 mes(\sigma)}{\lambda_1 d_{K_k,\sigma} + \lambda_2 d_{K_l,\sigma}} (\lambda_1 (u_{K_k} - u_{K_l}) + d_{K_l,\sigma} \Theta_\sigma)$$

## 7.4 Calcul numérique

### 7.4.1 Principe

On a le système linéaire :

$$F_{K_k} = B_k, \quad k \in [(1, 2np)]$$

et chaque  $F_{K_k}$  s'exprime en fonction des inconnues numériques  $(u_i)_{i \in [(1, 2np)]}$  et éventuellement de constantes. En déplaçant le second terme vers le second membre de l'équation, nous obtenons un système linéaire et  $N = 2np$  équations et  $N$  inconnues de la forme  $A.U = B$ , que nous pouvons résoudre numériquement en inversant la matrice carrée  $A$  :

$$U = A^{-1}.B$$

## 7.4.2 Algorithme

### Solution exacte

Code matlab

```
1 function z=solExacte(x,y)
2 z=y.*((x.^2)/2-x)+y.^2;
3 end
```

### Programme

Code matlab

```
1 function [u,U]=$=MailleurNS(a,L1,L2)
2     [T,S,Fr]=$ = lecture;
3     [u,XK]=$=solution(T,S,Fr,a,L1,L2);
4     v=tracer(u,T,S);
5 end
6
7 %Dans Notre cas : a=1, L1=2 et L2=1
8
9 function [T,S,Fr]=$ = lecture
10 %Lecture des fichiers triangles.txt, sommets.txt et arretes.txt
11 % Fonction qui lit les fichiers texte et retourne les tableaux
12 % correspondants
13
14 %Lecture des triangles
15 fid1=fopen('triangles.txt');
16 nt=fscanf(fid1,'%d',1);
17 T=zeros(nt,3);
18 for i=1:nt,
19     for j=1:3,
20         T(i,j)=fscanf(fid1,'%d',1);
21     end
22 end
23 fclose(fid1);
24
25 %Lecture des sommets
26 fid2=fopen('noeuds.txt');
27 ns=fscanf(fid2,'%d',1);
28 S=zeros(ns,2);
29 for i=1:ns
30     for j=1:2
31         S(i,j)=fscanf(fid2,'%f',1);
32     end
33 end
34 fclose(fid2);
35
36 %Lecture de la frontiere
37 fid3=fopen('arretes.txt');
38 nf=fscanf(fid3,'%d',1);
39 Fr=zeros(nf,3);
40 for i=1:nf
```

```

41     for j=1:2
42         Fr(i,j)=fscanf(fid3, '%d', 1);
43     end
44     if S(Fr(i,1),1)==0 && S(Fr(i,2),1)==0 %l'arete appartient a la frontiere 4
45         Fr(i,3)=4;
46     elseif S(Fr(i,1),1)==1 && S(Fr(i,2),1)==1 %l'arete appartient a la frontiere 2
47         Fr(i,3)=2;
48     elseif S(Fr(i,1),2)==0 && S(Fr(i,2),2)==0 %l'arete appartient a la frontiere 1
49         Fr(i,3)=1;
50     elseif S(Fr(i,1),2)==2 && S(Fr(i,2),2)==2 %l'arete appartient ala frontiere 3
51         Fr(i,3)=3;
52     end
53 end
54 fclose(fid3);
55 end
56
57 function [u,XK]=$= solution(T,S,Fr,a,L1,L2)
58 %Fonction qui retourne la solution numerique u aux points XK
59
60 nt=length(T);
61 A=zeros(nt,nt);
62 b=zeros(nt,1);
63 XK=zeros(nt,2);
64 for k=1:nt
65     if min(S(T(k,1),2),S(T(k,2),2))<1 || min(S(T(k,2),2),S(T(k,3),2))<1
66         b(k)=int2d(@f1,$[S(T(k,1),:); S(T(k,2),:); S(T(k,3),:)]$,100);
67     elseif max(S(T(k,1),2),S(T(k,2),2))>1 || max(S(T(k,2),2),S(T(k,3),2))>1
68         b(k)=int2d(@f2,$[S(T(k,1),:); S(T(k,2),:); S(T(k,3),:)]$,100);
69     end
70
71     XK(k,1:2)=1/3*(S(T(k,1),1:2)+S(T(k,2),1:2)+S(T(k,3),1:2));%Barycentre du
triangle k
72     for i=1:2
73         for j=i+1:3
74             %On raisonne sur l'arete [T(k,i)T(k,j)] du triangle T(k)
75             flag=RechercheFrontiere($[T(k,i) T(k,j)]$,Fr);
76             mS=((S(T(k,i),1)-S(T(k,j),1))^2 + (S(T(k,i),2)-S(T(k,j),2))^2)^(1/2);
77             %mesure de l'arete
78             if flag==0
79                 %Si l'arete n'est pas sur la frontiere
80                 L=RechercheTriangle($[T(k,i) T(k,j)]$,T);
81                 %Recherche des N des triangles qui ont l'arete
donnee
82                 %L'un de ces N sera K (notre triangle), l'autre est donc l (triangle voisin)
83                 if L(1)==k
84                     l=L(2);
85                 else
86                     l=L(1);
87                 end
88                 XL=1/3*(S(T(l,1),1:2)+S(T(l,2),1:2)+S(T(l,3),1:2));
89                 %Barycentre du triangle L
90                 dKL=((XK(k,1)-XL(1))^2 + (XK(k,2)-XL(2))^2)^(1/2);
91                 %Distance entre XK et XL
92                 %Ajout du flux passant par notre arete
93                 if min(S(T(k,i),2),S(T(k,j),2))<1 %Sur O1

```

```

94         A(k,k)=A(k,k)+L1*mS/dKL;
95         A(k,l)=A(k,l)-L1*mS/dKL;
96     elseif max(S(T(k,i),2),S(T(k,j),2))>1 %Sur O2
97         A(k,k)=A(k,k)+L2*mS/dKL;
98         A(k,l)=A(k,l)-L2*mS/dKL;
99     else %Sur l'interface l
100         dKS=((XK(k,1)-(S(T(k,i),1)+S(T(k,j),1))/2)^2 +
101             (XK(k,2)-(S(T(k,i),2)+...
102             +S(T(k,j),2))/2)^2)^(1/2); %Distance entre le barycentre
103         et le milieu de l'arrete
104         dLS=((XL(1)-(S(T(k,i),1)+S(T(k,j),1))/2)^2 +
105             (XL(2)-(S(T(k,i),2)+...
106             +S(T(k,j),2))/2)^2)^(1/2); %Distance entre le barycentre
107         ...
108         % et le milieu de l'arrete
109     if XK(2)<XL(2) %Le triangle k est dans O1
110         A(k,k)=A(k,k)+L1*L2*mS/(L1*dLS + L2*dKS);
111         A(k,l)=A(k,l)-L1*L2*mS/(L1*dLS + L2*dKS);
112         b(k)=b(k)-L1*mS*dLS*teta((S(T(k,i),1)+S(T(k,j),1))/2)/
113             (L1*dLS + L2*dKS));
114     else %Le triangle k est dans O2
115         A(k,k)=A(k,k)+L1*L2*mS/(L2*dLS + L1*dKS);
116         A(k,l)=A(k,l)-L1*L2*mS/(L2*dLS + L1*dKS);
117         b(k)=b(k)-L2*mS*dLS*teta((S(T(k,i),1)+S(T(k,j),1))/2)/
118             (L2*dLS + L1*dKS));
119     end
120 end
121 else
122 % Si l'arrete est sur une frontiere
123 dKS=((XK(k,1)-(S(T(k,i),1)+S(T(k,j),1))/2)^2 +
124     (XK(k,2)-(S(T(k,i),2)+...
125     S(T(k,j),2))/2)^2)^(1/2); %Distance entre
126 %le barycentre et le milieu de l'arrete
127 if Fr(flag,3)==1
128 %Si l'arrete est sur la frontiere 1
129 A(k,k)=A(k,k)+(a*L1*mS)/(L1+a*dKS);
130 b(k)=b(k)+(a*L1*mS)/(L1+a*dKS)
131 *uext1((S(T(k,i),1)+S(T(k,j),1))/2);
132 elseif Fr(flag,3)==3
133 %Si l'arrete est sur la frontiere 3
134 A(k,k)=A(k,k)+(a*L2*mS)/(L2+a*dKS);
135 b(k)=b(k)+(a*L2*mS)/(L2+a*dKS)*
136 uext2((S(T(k,i),1)+S(T(k,j),1))/2);
137 elseif Fr(flag,3)==4
138 if min(S(T(k,i),2),S(T(k,j),2))<1 %Sur O1
139 A(k,k)=A(k,k)+L1*mS/dKS;
140 b(k)=b(k)+L1*mS*g((S(T(k,i),2)+
141     S(T(k,j),2))/2)/dKS;
142 elseif max(S(T(k,i),2),S(T(k,j),2))>1 %Sur O2
143 A(k,k)=A(k,k)+L2*mS/dKS;
144 b(k)=b(k)+L2*mS*g((S(T(k,i),2)+
145     S(T(k,j),2))/2)/dKS;
146 end
end

```

```

147         end
148     end
149 end
150 end
151 u=A\b;
152 end
153
154 function v = tracer(u,T,S)
155 %Tracer de la fonction u ainsi que la solution exacte
156
157     nt=length(T);
158     ns=length(S);
159     v=zeros(ns,1);
160     vex=zeros(ns,1);
161     for i=1:ns
162         k=0;
163         for j=1:nt
164             if T(j,1)==i || T(j,2)==i || T(j,3)==i
165                 k=k+1;
166                 v(i)=v(i)+u(j);
167             end
168         end
169         v(i)=v(i)/k;
170         vex(i)=solExacte(S(i,1),S(i,2));
171     end
172
173     subplot(1,2,1)
174     trimesh(T, S(:,1),S(:,2), v)
175     xlabel('x');
176     ylabel('y');
177     zlabel('u');
178     title('Solution approchee')
179     subplot(1,2,2)
180     trimesh(T, S(:,1),S(:,2), vex)
181     xlabel('x');
182     ylabel('y');
183     zlabel('u');
184     title('Solution exacte')
185 end
186
187
188
189
190 function flag = RechercheFrontiere(Ar, Fr )
191 %Fonction qui cherche l'arrete Ar dans le tableau Fr et retourne l'indice de l'arrete ou 0 sinon
192     flag=0;
193     for i=1:length(Fr)
194         count=0;
195         for j=1:2
196             for k=1:2
197                 if Ar(j)==Fr(i,k)
198                     count=count+1;
199                 end
200             end
201         end

```

```

202         if count==2
203             flag=i;
204         end
205     end
206 end
207
208 function L = RechercheTriangle (A, T)
209 %Fonction qui parcourt le tableau des triangles et retourne
210 %les indices des deux triangles que l'arrete A appartient
211     L=zeros (2);%Tableau des deux indices
212     l=1;
213     for i=1:length(T)
214         s=0;
215         for j=1:3
216             if T(i,j)==A(1) || T(i,j)==A(2)
217                 %Le triangle T(i) a un point commun avec l'arrete
218                 s=s+1;
219             end
220         end
221         if s==2
222             %Le triangle T(i) a deux points communs avec l'arrete
223             L(1)=i;
224             l=l+1;
225         end
226     end
227 end

```

## Second Membre f

Code matlab

```

1 function z=f1(y,z)
2 z=y.^2+z.^2;

```

Code matlab

```

1 function z=f2(y,z)
2 z=1+y.^2+z.^2;

```

## Les condition aux limites,function g :

Code matlab

```

1 function z=g(y)
2 z=y.^2;
3 end

```

## Les condition aux limites, la fonction $\theta$

Code matlab

```

1 function z=teta(x)
2 z=-((x.^2)/2-x+2);
3 end

```

## Les condition aux limites, la fonction $U_{ext1}$

Code matlab

```

1 function z=uext1(x)
2 z=-(x.^2)+2*x;
3 end

```

## Les conditions aux limites, la fonction $U_{ext2}$

Code matlab

```

1 function z=uext2(x)
2 z=3*((x.^2)/2-x)+8;
3 end

```

### 7.4.3 Résultats graphiques

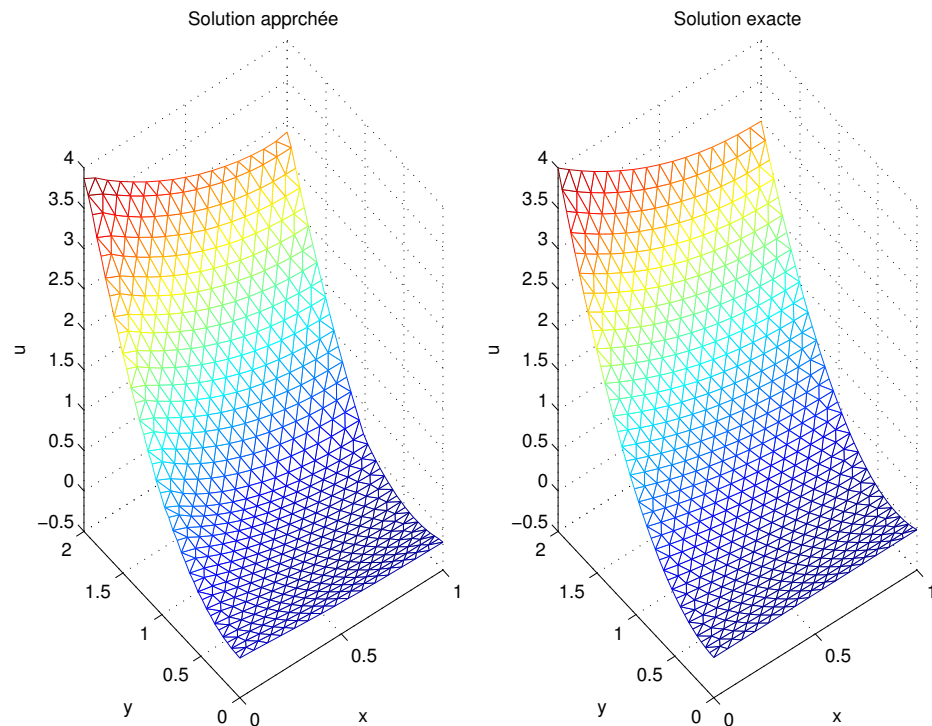


FIGURE 7.1 – Solutions obtenues



# Conclusion

Les difficultés des méthodes numériques pour la résolution des équations aux dérivées partielles ont des origines diverses : elles proviennent soit des subtilités liées au choix de l'algorithme, soit des problèmes de stockage en mémoire. Des difficultés supplémentaires apparaissent pour des équations aux dérivées partielles non-linéaires où il est nécessaire d'introduire des nouveaux critères pour l'analyse de la stabilité des algorithmes. Le domaine de la résolution des équations aux dérivées partielles reste un domaine très actif de recherche en analyse numérique, soulignant à la fois l'intérêt de nouvelles méthodes et la nécessité d'obtenir des méthodes de plus en plus performantes.